

# Math-Net.Ru

Общероссийский математический портал

В. Д. Галкин, О. В. Починка, Д. Д. Шубин, Классификация неособых четырехмерных потоков с нескрученной седловой орбитой, *Матем. сб.*, 2024, том 215, номер 11, 65–91

DOI: 10.4213/sm10091

Использование Общероссийского математического портала Math-Net.Ru подразумевает, что вы прочитали и согласны с пользовательским соглашением <http://www.mathnet.ru/rus/agreement>

Параметры загрузки:

IP: 82.208.125.14

25 октября 2024 г., 18:09:02



В. Д. Галкин, О. В. Починка, Д. Д. Шубин

## Классификация неособых четырехмерных потоков с нескрученной седловой орбитой

Топологической эквивалентности маломерных потоков Морса–Смейла без неподвижных точек (НМС-потоков) в предположениях различной общности посвящен целый ряд работ. Начиная с размерности 4 имеется пока незначительное число классификационных результатов. Однако известно, что существуют четырехмерные неособые потоки с дико вложенными инвариантными седловыми многообразиями. В настоящей статье рассмотрен класс неособых потоков Морса–Смейла, заданных на замкнутых ориентируемых 4-многообразиях и имеющих единственную седловую орбиту, которая является нескрученной. Установлено, что полным инвариантом для них является класс эквивалентности узла, вложенного в многообразии  $\mathbb{S}^2 \times \mathbb{S}^1$ . По любому узлу в  $\mathbb{S}^2 \times \mathbb{S}^1$  построен стандартный представитель в классе рассматриваемых потоков. Также доказано, что несущим многообразием всех таких потоков является многообразие  $\mathbb{S}^3 \times \mathbb{S}^1$ .

Библиография: 24 названия.

**Ключевые слова:** неособый поток, поток Морса–Смейла.

DOI: <https://doi.org/10.4213/sm10091>

### § 1. Введение и формулировка результатов

В настоящей работе рассматриваются так называемые *НМС-потоки*  $f^t$ , т.е. *неособые* (без неподвижных точек) потоки Морса–Смейла, заданные на замкнутых ориентируемых  $n$ -многообразиях  $M^n$ ,  $n \geq 2$ . Неблуждающее множество такого потока состоит из конечного числа периодических гиперболических орбит.

В случае малого числа орбит известные инварианты можно значительно упростить и, главное, довести задачу классификации до реализации, описав допустимость полученных инвариантов. В работе [17] была получена исчерпывающая классификация потоков с двумя орбитами на произвольных замкнутых  $n$ -многообразиях. В статье [23] полная топологическая классификация получена для потоков с тремя периодическими орбитами, заданных на ориентируемых 3-многообразиях. В работах [20], [24] решен вопрос классификации для трехмерных потоков Морса–Смейла с конечным числом особых траекторий. Топологическая эквивалентность неособых потоков в предположениях различной общности на 3-сфере получена, например, в [5], [22].

---

Исследование выполнено за счет гранта Российского научного фонда № 23-71-30008, <https://rscf.ru/project/23-71-30008/>, кроме исследования топологии несущих многообразий рассматриваемых потоков (теорема 4), которое выполнено в рамках программы фундаментальных исследований НИУ ВШЭ.

В работе [21] установлено, что единственным ориентируемым 4-многообразием, допускающим НМС-поток в точности с одной седловой периодической орбитой в предположении, что она *скрученная* (ее инвариантные многообразия неориентируемы), является  $\mathbb{S}^3 \times \mathbb{S}^1$ . Там же доказано, что такие потоки разбиваются на восемь классов эквивалентности. Сразу отметим, что в случае нескрученной орбиты число классов эквивалентности таких потоков бесконечно, как следует из работы [16], и среди них есть потоки с дико вложенными инвариантными многообразиями седловой орбиты.

Настоящая работа посвящена топологической эквивалентности четырехмерных НМС-потоков в точности с одной седловой периодической орбитой в предположении, что она нескрученная.

Перейдем к формулировке результатов.

Пусть  $M^4$  – связное замкнутое ориентируемое 4-многообразие,  $f^t: M^4 \rightarrow M^4$  – НМС-поток и  $\mathcal{O}$  – его периодическая орбита. В окрестности гиперболической периодической орбиты  $\mathcal{O}$  поток допускает простое описание (с точностью до топологической эквивалентности), а именно существует ее трубчатая окрестность  $V_{\mathcal{O}}$ , гомеоморфная  $\mathbb{D}^3 \times \mathbb{S}^1$ , в которой поток топологически эквивалентен надстройке над некоторым линейным диффеоморфизмом пространства  $\mathbb{R}^3$ , заданным матрицей с положительным определителем и действительными собственными значениями, по модулю отличными от единицы (см. предложение 7 ниже). Число значений, по модулю больших единицы, называется *индексом Морса* орбиты  $\mathcal{O}$  и обозначается  $i_{\mathcal{O}}$ .

Если  $i_{\mathcal{O}} = 0$  ( $i_{\mathcal{O}} = 3$ ), то соответствующая периодическая орбита является *притягивающей* (*отталкивающей*), в противном случае – *седловой*. Седловая орбита называется *скрученной*, если ровно два собственных значения отрицательны, при этом одно из них больше, другое меньше единицы по модулю, и называется *нескрученной* в противном случае. Будем добавлять минус к индексу Морса  $i_{\mathcal{O}}$  в случае скрученности орбиты  $\mathcal{O}$ . Через

$$\langle c \rangle_{\mathcal{O}}$$

будем обозначать число оборотов узла  $c \subset V_{\mathcal{O}}$  вдоль орбиты  $\mathcal{O}$ . Положим

$$\Sigma_{\mathcal{O}} = \partial V_{\mathcal{O}} \cong \mathbb{S}^2 \times \mathbb{S}^1$$

и обозначим через  $e_{\mathcal{O}} \subset \Sigma_{\mathcal{O}}$  образующую фундаментальной группы  $\pi_1(\Sigma_{\mathcal{O}})$  такую, что

$$\langle e_{\mathcal{O}} \rangle_{\mathcal{O}} = 1.$$

Напомним, что узел в  $\mathbb{S}^2 \times \mathbb{S}^1$  называется *стандартным*, если существует гомеоморфизм  $\mathbb{S}^2 \times \mathbb{S}^1$ , переводящий его в узел  $\{s\} \times \mathbb{S}^1$ .

Рассмотрим класс  $G_1^+(M^4)$  НМС-потоков  $f^t: M^4 \rightarrow M^4$  с единственной седловой орбитой  $S$  в предположении, что она является нескрученной.

Для седловой орбиты  $S$  потока  $f^t \in G_1^+(M^4)$  возможны два следующих варианта: 1)  $\dim W_S^u = 3$ ; 2)  $\dim W_S^u = 2$ .

Обозначим через  $G_1^{+1}(M^4)$ ,  $G_1^{+2}(M^4)$  классы потоков типа 1), 2) соответственно. Очевидно, что в силу различия в размерностях неустойчивых седловых

многообразий никакой поток множества  $G_1^{+1}(M^4)$  не эквивалентен никакому потоку множества  $G_1^{+2}(M^4)$ . Кроме того,  $G_1^{+2}(M^4) = \{f^{-t}: f^t \in G_1^{+1}(M^4)\}$  и потоки  $f^t, f'^t$  эквивалентны тогда и только тогда, когда  $f^{-t}, f'^{-t}$ . Непосредственно отсюда следует, что решение проблемы классификации в множестве  $G_1^+(M^4)$  сводится к решению этой проблемы в классе  $G = G_1^{+1}(M^4)$ .

В п. 3.1 мы установим следующий факт.

**ЛЕММА 1.** *Неблизкаящее множество любого потока  $f^t \in G$  содержит единственную притягивающую орбиту  $A$ .*

Из эквивалентности потока надстройке в окрестностях периодических орбит следует, что множество

$$T = W_S^u \cap \Sigma_S$$

гомеоморфно двумерному тору (рис. 1; в дальнейшем многообразии будем изображать в виде шарового слоя  $\mathbb{S}^2 \times [0, 1]$  с основаниями, отождествленными по правилу  $(x, 0) \sim (x, 1)$ ). При этом если  $N_T \subset \Sigma_S$  – замкнутая трубчатая окрестность тора  $T$ , то множество  $\Sigma_S \setminus \text{int } N_T$  состоит из пары заполненных торов  $V^-, V^+$ , являющихся трубчатыми окрестностями узлов  $L^\pm$  таких, что

$$L^- \sqcup L^+ = W_S^s \cap \Sigma_S.$$

Везде далее будем полагать узел  $L^\pm$  ориентированным так, что  $\langle L^\pm \rangle_S = 1$ .

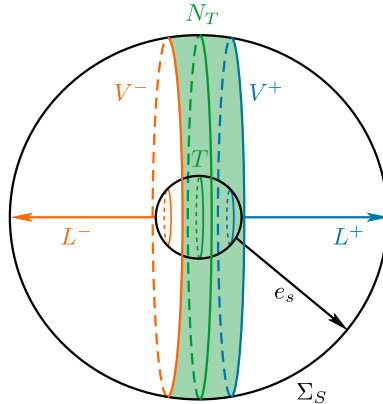


Рис. 1. Тор  $T$  и узлы  $L^-, L^+$  в многообразии  $\Sigma_S$ .

Обозначим через  $\mathcal{R}$  множество отталкивающих орбит потока  $f^t$ , положим

$$\Sigma_{\mathcal{R}} = \bigsqcup_{R \in \mathcal{R}} \Sigma_R.$$

В п. 3.3 будет показано, что окрестность  $N_T$  можно выбрать так, что

$$N_T \subset \Sigma_A, \quad (\Sigma_S \setminus \text{int } N_T) \subset \Sigma_{\mathcal{R}}.$$

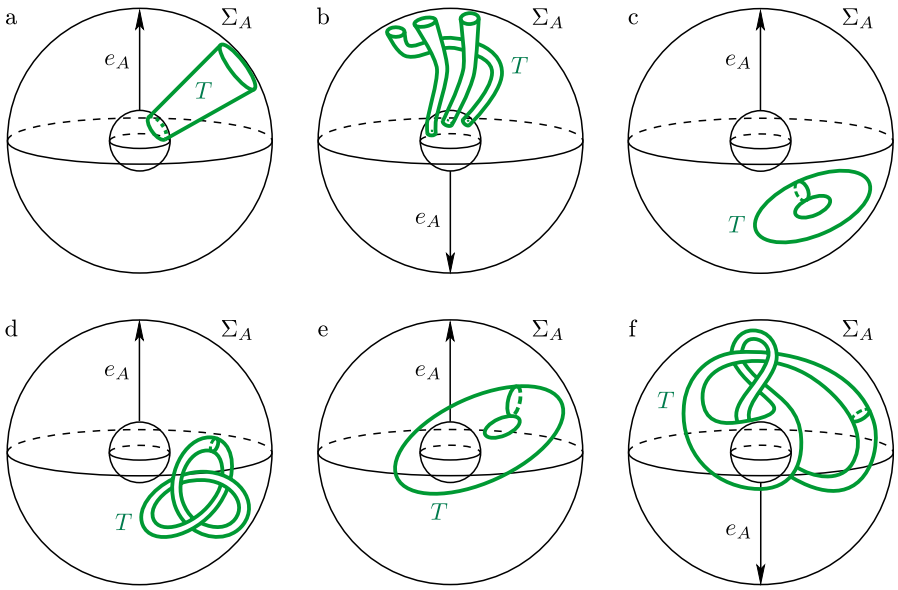


Рис. 2. Возможные вложения тора  $T$  в многообразие  $\Sigma_A$ .

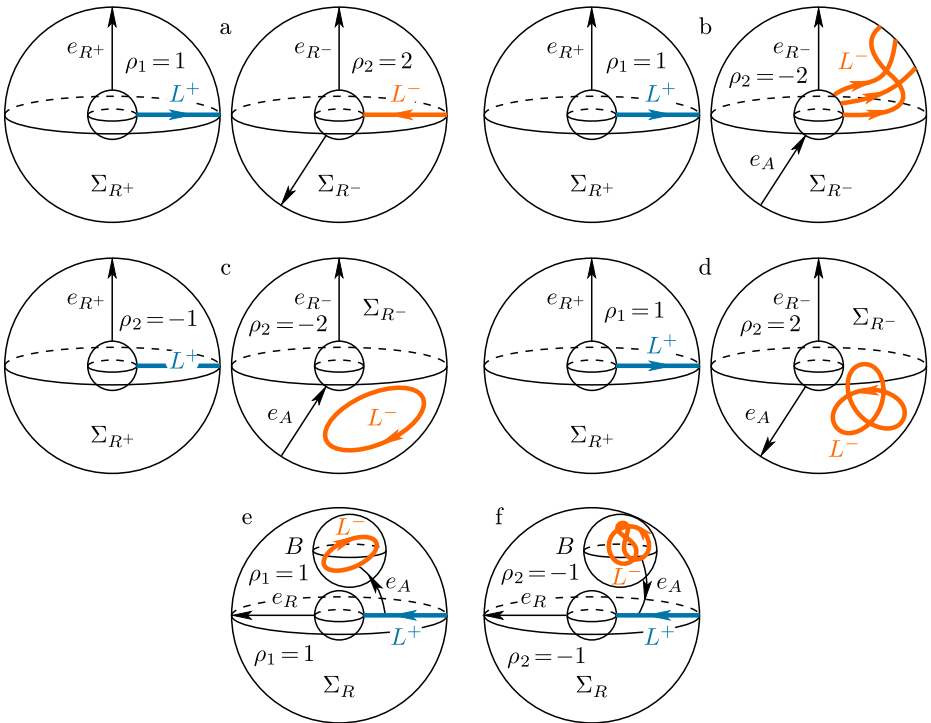


Рис. 3. Возможные вложения узлов  $L^-, L^+$  в многообразие  $\Sigma_{\mathcal{R}}$ .

На рис. 2 изображены возможные вложения тора  $T$  в многообразие  $\Sigma_A$ .

В п. 3.4 мы установим следующий факт о числе отталкивающих орбит и расположении узлов  $L^-$ ,  $L^+$  в многообразии  $\Sigma_{\mathcal{R}}$  потока  $f^t$  (рис. 3).

ЛЕММА 2. Для потоков множества  $G$  реализуются в точности две возможности:

- 1) множество  $\mathcal{R}$  состоит из двух орбит  $R^-, R^+$  и хотя бы один из узлов  $L^- \subset \Sigma_{R^-}, L^+ \subset \Sigma_{R^+}$  является стандартным (см. рис. 3, а-d);
- 2) множество  $\mathcal{R}$  состоит из одной орбиты  $R$ , узлы  $L^-, L^+$  разделены в  $\Sigma_R$  2-сферой и хотя бы один из узлов является стандартным (см. рис. 3, e, f).

Не умаляя общности, будем полагать, что стандартным является узел  $L^+$ , положим  $L = L^-$  и, если  $\mathcal{R}$  состоит из двух орбит, положим  $R = R^-$  и обозначим через  $B \subset \Sigma_R$  3-шар, ограниченный 2-сферой, разделяющей в  $\Sigma_R$  узлы  $L^-, L^+$ . Каждому потоку  $f^t \in G$  поставим в соответствие пару чисел  $\rho_1 \in \{-1, 1\}, \rho_2 \in \{-2, -1, 1, 2\}$  по следующему правилу (см. рис. 3). Если поток  $f^t$  имеет две отталкивающие орбиты, то  $\rho_1 = \langle L^+ \rangle_{R^+}, \rho_2 = 2\langle e_A \rangle_{R^-}$ . Если поток  $f^t$  имеет одну отталкивающую орбиту, то  $\rho_1 = \langle L^+ \rangle_R, \rho_2 = 1(-1)$ , если образующая  $e_A$  в многообразии  $\Sigma_R$  направлена внутрь шара  $B$  (наружу шара  $B$ ).

Набор

$$\mathcal{S}_{f^t} = (\Sigma_R, L, \rho_1, \rho_2)$$

назовем *схемой потока*  $f^t \in G$  (рис. 4).

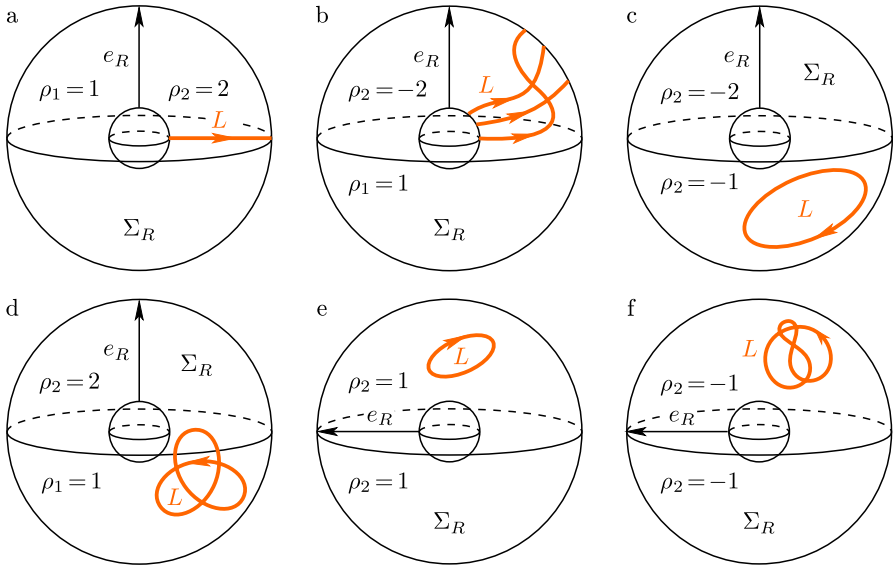


Рис. 4. Возможные схемы потоков класса  $G$ .

Схемы  $\mathcal{S}_{f^t} = (\Sigma_R, L, \rho_1, \rho_2)$ ,  $\mathcal{S}_{f^{t'}} = (\Sigma_{R'}, L', \rho'_1, \rho'_2)$  потоков  $f^t, f^{t'} \in G$  назовем *эквивалентными*, если существует гомеоморфизм  $\varphi: \Sigma_R \rightarrow \Sigma_{R'}$  такой, что:

- $\langle \varphi(e_R) \rangle_{R'} = \langle e_{R'} \rangle_{R'}$ ;
- $\varphi(L) = L'$ ;
- $\rho_1 = \rho'_1, \rho_2 = \rho'_2$ .

Основным результатом работы является следующая теорема, доказанная в § 4.

**ТЕОРЕМА 1.** *Потоки  $f^t, f^{t'} \in G$  топологически эквивалентны тогда и только тогда, когда их схемы  $\mathcal{S}_{f^t}, \mathcal{S}_{f^{t'}}$  эквивалентны.*

Для решения проблемы реализации потоков рассматриваемого класса опишем абстрактную схему.

Набор

$$\mathcal{S} = (\Sigma, L, \rho_1, \rho_2)$$

назовем *абстрактной схемой*, если:

- множество  $\Sigma$  гомеоморфно многообразию  $\mathbb{S}^2 \times \mathbb{S}^1$  с фиксированной образующей  $e$ ;
- $L$  – произвольный узел, гладко вложенный в  $\Sigma$ ;
- $\rho_1 \in \{-1, 1\}$ ;
- $\rho_2 \in \{-2, -1, 1, 2\}$  и  $|\rho_2| = 2$ , если узел  $L$  не гомотопен нулю в  $\Sigma$ .

Непосредственно из леммы 2 следует, что схема любого потока  $f^t \in G$  эквивалентна некоторой абстрактной схеме.

Классификацию потоков рассматриваемого класса завершает следующая теорема, конструктивно доказанная в § 5.

**ТЕОРЕМА 2.** *Для любой абстрактной схемы  $\mathcal{S}$  существует поток  $f^t \in G$ , схема которого ей эквивалентна.*

Частным случаем рассматриваемых потоков являются надстройки над 3-диффеоморфизмами Морса–Смейла с единственной седловой орбитой. Согласно работе [14] несущим многообразием любого такого диффеоморфизма является сфера  $\mathbb{S}^3$ , а из работ [3], [4] следует, что полным инвариантом их топологической сопряженности также является вложение узла в многообразие  $\mathbb{S}^2 \times \mathbb{S}^1$ . Непосредственным следствием этой классификации и теоремы 1 является следующий факт.

**ТЕОРЕМА 3.** *Поток  $f^t \in G$  с инвариантом  $\mathcal{S}_{f^t} = (\Sigma_R, L, \rho_1, \rho_2)$  эквивалентен надстройке над 3-диффеоморфизмом Морса–Смейла тогда и только тогда, когда*

$$\langle L \rangle_R > 0, \quad \rho_1 = 1, \quad \rho_2 = 2.$$

В частности, поток  $f^t \in G$  с инвариантами  $\langle L \rangle_R = 1, \rho_1 = 1, \rho_2 = 2$  эквивалентен надстройке над так называемыми *диффеоморфизмами Пикстона* [15]. В этом случае узел  $L$  является *узлом Хопфа* (т.е. принадлежит гомотопическому классу  $\langle e_R \rangle_R$ ). Из результатов работы [1] следует, что существует счетное число попарно не эквивалентных (объемлюще не гомеоморфных) хопфовских

узлов (рис. 5). Согласно [3] любой узел Хопфа может быть реализован диффеоморфизмом Пикстона. В работе [16] установлено, что надстройка над диффеоморфизмом Пикстона, реализованным по узлу, не эквивалентному стандартному узлу  $L_0$ , является потоком с дико вложенными инвариантными многообразиями седловой орбиты.

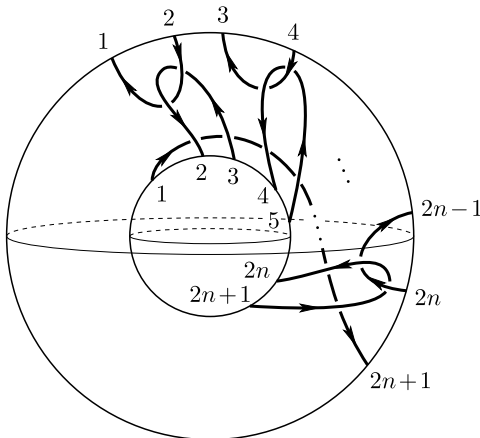


Рис. 5. Попарно не эквивалентные узлы Хопфа  $L_n, n \geq 0$ .

Несмотря на возможность дикого вложения инвариантных многообразий седловой орбиты несущее многообразие любого потока  $f^t \in G$ , являющегося надстройкой над 3-диффеоморфизмом, гомеоморфно многообразию  $\mathbb{S}^3 \times \mathbb{S}^1$ . Удивительным фактом настоящей работы является доказательство следующего результата.

**ТЕОРЕМА 4.** *Несущее многообразие любого потока  $f^t \in G$  гомеоморфно многообразию  $\mathbb{S}^3 \times \mathbb{S}^1$ .*

### § 2. О вложениях в многообразии $\mathbb{S}^2 \times \mathbb{S}^1$

Напомним, что  $C^r$ -вложением ( $r \geq 0$ ) многообразия  $X$  в многообразие  $Y$  называется отображение  $\lambda: X \rightarrow Y$  такое, что  $\lambda: X \rightarrow \lambda(X)$  – это  $C^r$ -диффеоморфизм.  $C^0$ -вложение называют также *топологическим вложением*.

Топологическое вложение  $\lambda: X \rightarrow Y$   $m$ -многообразия  $X$  в  $n$ -многообразие  $Y$  ( $m \leq n$ ) называется *локально плоским в точке  $\lambda(x), x \in X$* , если точка  $\lambda(x)$  принадлежит такой карте  $(U, \psi)$  многообразия  $Y$ , что  $\psi(U \cap \lambda(X)) = \mathbb{R}^m$ , где  $\mathbb{R}^m \subset \mathbb{R}^n$  – множество точек, у которых последние  $n - m$  координат равны нулю, или  $\psi(U \cap \lambda(X)) = R_+^m$ , где  $\mathbb{R}_+^m \subset \mathbb{R}^m$  – множество точек, у которых последняя координата неотрицательна. Вложение  $\lambda$  называется *локально плоским*, а многообразие  $X$  – *локально плоско вложенным*, если  $\lambda$  является локально

плоским в каждой точке  $\lambda(x)$ ,  $x \in X$ . В противном случае вложение  $\lambda$  называется *диким*, а многообразие  $X$  – *дику вложенным*. Любая точка  $\lambda(x)$ , в которой отображение  $\lambda$  не является локально плоским, называется *точкой дикости*.

Положим  $\Sigma = \mathbb{S}^2 \times \mathbb{S}^1$ .

**ПРЕДЛОЖЕНИЕ 1** (см. [3; лемма 3.1]). *Пусть  $\Lambda$  – двумерная сфера, локально плоско вложенная в многообразии  $\Sigma$ . Тогда  $\Lambda$  либо ограничивает на сфере 3-шар, либо объемлюще изотопна сфере  $\mathbb{S}^2 \times \{s_0\}$ ,  $s_0 \in \mathbb{S}^1$ .*

Напомним, что *заполненным тором*  $V$  называется 3-многообразие с краем, гомеоморфное многообразию  $\mathbb{D}^2 \times \mathbb{S}^1$ . *Меридианом* заполненного тора  $V$  называется узел  $\mu \subset \partial V$ , ограничивающий 2-диск  $d \subset V$  такой, что  $d \cap \partial V = \mu$ .

**ПРЕДЛОЖЕНИЕ 2** (см. [18]). *Пусть  $V_1, V_2$  – заполненные торы и  $h: \partial V_1 \rightarrow \partial V_2$  – гомеоморфизм. Тогда гомеоморфизм  $h$  продолжается до гомеоморфизма  $h: V_1 \rightarrow V_2$ , если и только если он переводит меридиан заполненного тора  $V_1$  в меридиан заполненного тора  $V_2$ .*

**ПРЕДЛОЖЕНИЕ 3** (см. [2]). *Пусть  $V_1, V_2$  – заполненные торы, локально плоско вложенные в 3-многообразии  $M^3$  так, что  $M^3 = V_1 \cup V_2$ ,  $V_1 \cap V_2 = \partial V_1 = \partial V_2$ . Тогда  $M^3 \cong \Sigma$ , если и только если меридиан заполненного тора  $V_1$  одновременно является меридианом заполненного тора  $V_2$ .*

**ПРЕДЛОЖЕНИЕ 4** (см. [2]). *Локально плоский узел  $L \subset \Sigma$  является стандартным тогда и только тогда, когда дополнение до его трубчатой окрестности в  $\Sigma$  гомеоморфно заполненному тору.*

Локально плоский узел  $L \subset \mathbb{S}^3$  называется *тривиальным*, если существует гомеоморфизм  $\mathbb{S}^3$ , переводящий его в узел  $\mathbb{S}^1 \subset \mathbb{S}^3$ . В противном случае узел называется *нетривиальным*.

**ПРЕДЛОЖЕНИЕ 5** (см. [7; теорема 3], [6; замечание]). *Пусть множество  $W$  гомеоморфно дополнению  $\mathbb{S}^3$  до трубчатой окрестности нетривиального узла  $L \subset \mathbb{S}^3$  и  $M^3 = W \cup V$ , где  $V$  – заполненный тор такой, что  $W \cap V = \partial W = \partial V$ . Тогда  $M^3$  не гомеоморфно многообразию  $\Sigma$ .*

Пусть  $T$  – локально плоско вложенный в многообразии  $\Sigma$  двумерный тор и  $i_T: T \rightarrow \Sigma$  – отображение включения. Будем говорить, что тор  $T$  вложен *гомотопически тривиально* (не тривиально), если  $i_{T*}(\pi_1(T)) = 0$  ( $i_{T*}(\pi_1(T)) \neq 0$ ).

**ПРЕДЛОЖЕНИЕ 6** (см. [3; теорема 4]). *Пусть  $T$  – двумерный тор, гомотопически нетривиально вложенный в многообразии  $\Sigma$ . Тогда  $T$  ограничивает в  $\Sigma$  заполненный тор.*

Для описания двумерного тора  $T$ , гомотопически тривиально вложенного в многообразии  $\Sigma$ , заметим, что для любого такого тора  $T$  существует гладко вложенная 2-сфера  $\Lambda \subset \Sigma$ , гомотопная слою  $\mathbb{S}^2 \times \{s_0\}$  и не пересекающаяся с тором  $T$ .

ЛЕММА 3. Пусть  $T$  – двумерный тор, гомотопически тривиально вложенный в многообразие  $\Sigma$ . Тогда для тора  $T$  реализуются следующие возможности:

- 1)  $T$  ограничивает заполненный тор  $V$  в  $\Sigma$ ;
- 2)  $T$  не делит многообразие  $\Sigma$  и множество  $\Sigma \setminus (\Lambda \cup T)$  состоит из двух компонент связности, замыкание одной из которых гомеоморфно заполненному тору без 3-шара, другой – 3-шару без заполненного тора;
- 3)  $T$  делит многообразие  $\Sigma$  на две компоненты связности, одна из которых гомеоморфна дополнению сферы  $\mathbb{S}^3$  до трубчатой окрестности нетривиального узла.

ДОКАЗАТЕЛЬСТВО. Представим  $\mathbb{S}^3$  как компактификацию  $\mathbb{S}^2 \times \mathbb{R}$  северным  $N$  и южным  $S$  полюсами. Определим проекцию  $p: \mathbb{S}^2 \times \mathbb{R} \rightarrow \Sigma$  формулой  $p(s, r) = (s, r \pmod{1})$ . Тогда многообразие  $\Sigma$  является пространством орбит действия на  $\mathbb{S}^2 \times \mathbb{R}$  группы диффеоморфизмов  $\{g^n, n \in \mathbb{Z}\}$ , где диффеоморфизм  $g: \mathbb{S}^2 \times \mathbb{R} \rightarrow \mathbb{S}^2 \times \mathbb{R}$  задается формулой

$$g(s, r) = (s, r - 1).$$

Обозначим через  $\tilde{\Lambda} \subset \mathbb{S}^3$  компоненту связности множества  $p^{-1}(\Lambda)$  и через  $\tilde{K} \subset \mathbb{S}^3$  – трехмерное кольцо, ограниченное 2-сферами  $\tilde{\Lambda}$ ,  $g(\tilde{\Lambda})$ . При этом сфера  $\tilde{\Lambda}$  ( $g(\tilde{\Lambda})$ ) ограничивает в  $\mathbb{S}^3$  3-шар  $B_N$  ( $B_S$ ), содержащий полюс  $N$  ( $S$ ) (рис. 6). Обозначим через  $\tilde{T} \subset \tilde{K}$  компоненту связности множества  $p^{-1}(T)$ , которая в силу гомотопической тривиальности тора  $T$  является локально плоско вложенным двумерным тором.

Поскольку многообразие  $\mathbb{S}^3$  является неприводимым (любая локально плоско вложенная в него 2-сфера ограничивает в нем 3-шар), то тор  $\tilde{T}$  ограничивает там заполненный тор  $\tilde{V} \subset \mathbb{S}^3$  (см., например, [13]). Положим  $\tilde{W} = \mathbb{S}^3 \setminus \text{int } \tilde{V}$ . Поскольку тор  $\tilde{T}$  не пересекается с шарами  $B_N, B_S$ , то для множеств  $\tilde{V}, \tilde{W}$  существуют следующие возможности:

- 1)  $\tilde{V} \subset \tilde{K}$  и многообразие  $\tilde{W}$  гомеоморфно заполненному тору (см. рис. 6, а);
- 2)  $\tilde{V} \subset \tilde{K}$  и многообразие  $\tilde{W}$  не гомеоморфно заполненному тору (см. рис. 6, с);
- 3)  $\tilde{V}$  пересекается в точности с одним из шаров  $B_N, B_S$  (с  $B_N$  для определенности) и многообразие  $\tilde{W}$  гомеоморфно заполненному тору (см. рис. 6, b);
- 4)  $\tilde{V}$  пересекается в точности с одним из шаров  $B_N, B_S$  (с  $B_N$  для определенности) и многообразие  $\tilde{W}$  не гомеоморфно заполненному тору (см. рис. 6, d);
- 5)  $\tilde{V}$  содержит оба шара  $B_N, B_S$  и многообразие  $\tilde{W}$  не гомеоморфно заполненному тору (см. рис. 6, e).

Непосредственно отсюда получаются следующие возможности для тора  $T$ :

- 1), 2)  $T$  ограничивает заполненный тор  $V = p(\tilde{V})$  в  $\Sigma$ ;
- 3), 4)  $T$  не делит многообразие  $\Sigma$  и множество  $\Sigma \setminus (\Lambda \cup T)$  состоит из двух компонент связности, замыкание одной из которых  $p(\tilde{V} \setminus \text{int } B_N)$  гомеоморфно

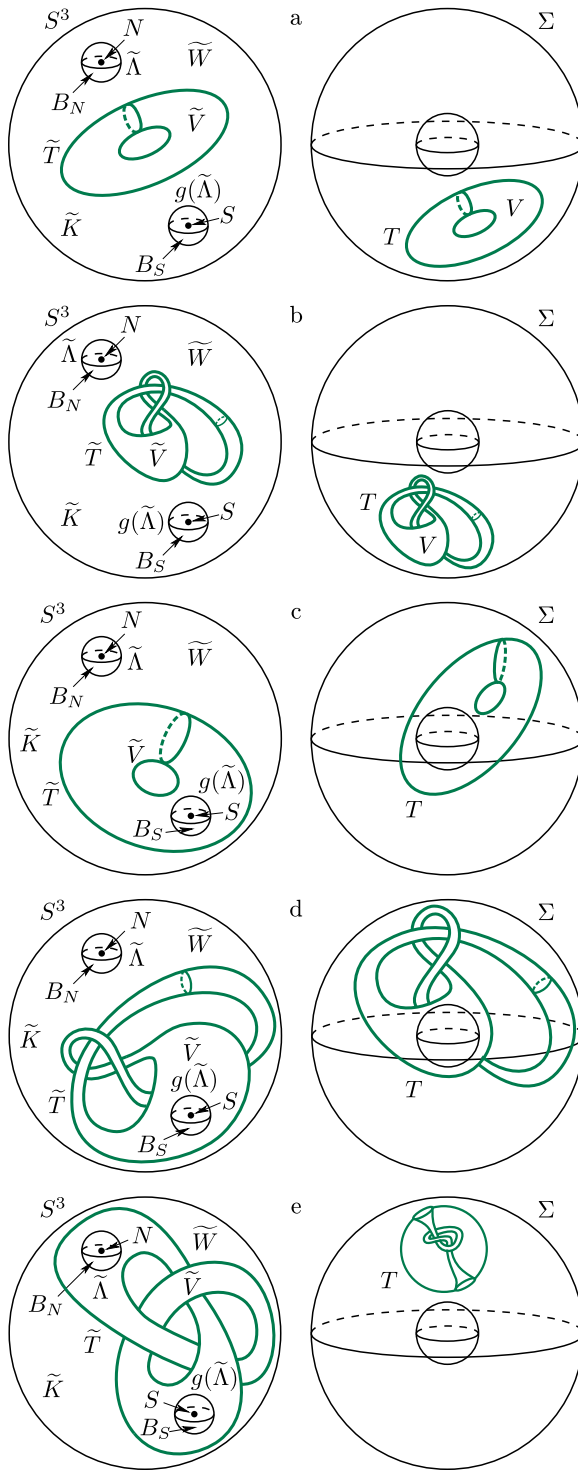


Рис. 6

заполненному тору без 3-шара, другой  $p(g(\tilde{\Lambda}) \setminus \text{int } \tilde{V})$  – 3-шару без заполненного тора;

5)  $T$  делит многообразие  $\Sigma$  на две компоненты связности, одна из которых гомеоморфна  $p(\mathbb{S}^3 \setminus \text{int } \tilde{V})$ .

Лемма доказана.

### § 3. Динамика потоков класса $G$

**3.1. Единственность притягивающей орбиты.** Настоящий пункт посвящен доказательству леммы 1: неблуждающее множество любого потока  $f^t \in G$  содержит единственную притягивающую орбиту  $A$ .

ДОКАЗАТЕЛЬСТВО ЛЕММЫ 1. Основой доказательства является следующее представление несущего многообразия  $M^4$  НМС-потока  $f^t$  с множеством периодических орбит  $\text{Per}_{f^t}$  (см., например, [19]):

$$M^4 = \bigcup_{\mathcal{O} \in \text{Per}_{f^t}} W_{\mathcal{O}}^u = \bigcup_{\mathcal{O} \in \text{Per}_{f^t}} W_{\mathcal{O}}^s, \tag{3.1}$$

а также асимптотическое поведение инвариантных многообразий

$$\text{cl}(W_{\mathcal{O}}^u) \setminus W_{\mathcal{O}}^u = \bigcup_{\tilde{\mathcal{O}} \in \text{Per}_{f^t} : W_{\tilde{\mathcal{O}}}^u \cap W_{\mathcal{O}}^s \neq \emptyset} W_{\tilde{\mathcal{O}}}^u, \tag{3.2}$$

$$\text{cl}(W_{\mathcal{O}}^s) \setminus W_{\mathcal{O}}^s = \bigcup_{\tilde{\mathcal{O}} \in \text{Per}_{f^t} : W_{\tilde{\mathcal{O}}}^s \cap W_{\mathcal{O}}^u \neq \emptyset} W_{\tilde{\mathcal{O}}}^s. \tag{3.3}$$

Аналогично теореме 1 работы [9] все источниковые орбиты, объединенные с устойчивыми многообразиями всех седловых обит потока  $f^t$ , образуют репеллер<sup>1</sup>. Поскольку размерность устойчивых многообразий равна 2, то построенный репеллер (обозначим его через  $R$ ) имеет топологическую размерность 2. Согласно [10; гл. 4, § 5, следствие 1] многообразие  $M^4 \setminus R$  связно так же, как и многообразии  $M^4 \setminus \text{int } U_R$ , где  $U_R$  – захватывающая окрестность репеллера  $R$ . С другой стороны, множество  $U_A = M^4 \setminus \text{int } U_R$  является захватывающей окрестностью объединения  $A$  всех притягивающих орбит потока  $f^t$ , являющегося аттрактором. Поскольку  $A = \bigcap_{t \geq 0} f^t(U_A)$  и  $U_A$  связно, то  $A$  связно и, следовательно, состоит из одной орбиты.

Лемма доказана.

**3.2. Канонические окрестности периодических орбит.** Напомним определение надстройки. Пусть  $\varphi : M^3 \rightarrow M^3$  – диффеоморфизм трехмерного многообразия. Определим диффеоморфизм  $g_\varphi : M^3 \times \mathbb{R} \rightarrow M^3 \times \mathbb{R}$  формулой

$$g_\varphi(x_1, x_2, x_3, x_4) = (\varphi(x_1, x_2, x_3), x_4 - 1).$$

---

<sup>1</sup>Компактное  $f^t$ -инвариантное множество  $A \subset M^4$  называется *аттрактором* потока  $f^t$ , если оно имеет компактную окрестность  $U_A$  такую, что  $f^t(U_A) \subset \text{int}(U_A)$  для любого  $t > 0$  и  $A = \bigcap_{t \geq 0} f^t(U_A)$ . Окрестность  $U_A$  при этом называется *захватывающей*. Репеллер определяется как аттрактор для потока  $f^{-t}$ .

Тогда группа  $\{g_\varphi^n\} \cong \mathbb{Z}$  действует свободно и разрывно на  $M^3 \times \mathbb{R}$ , в силу чего пространство орбит  $\Pi_\varphi = M^3 \times \mathbb{R}/g_\varphi$  является гладким 4-многообразием, а естественная проекция  $v_\varphi: M^3 \times \mathbb{R} \rightarrow \Pi_\varphi$  – накрытием. При этом поток  $\xi^t: M^3 \times \mathbb{R} \rightarrow M^3 \times \mathbb{R}$ , заданный формулой

$$\xi^t(x_1, x_2, x_3, x_4) = (x_1, x_2, x_3, x_4 + t),$$

индуцирует поток  $[\varphi]^t = v_\varphi \xi^t v_\varphi^{-1}: \Pi_\varphi \rightarrow \Pi_\varphi$ , называемый *надстройкой над диффеоморфизмом*  $\varphi$ .

Определим диффеоморфизмы  $a_0, a_{\pm 1}, a_{\pm 2}, a_3: \mathbb{R}^3 \rightarrow \mathbb{R}^3$  формулами

$$\begin{aligned} a_3(x_1, x_2, x_3) &= (2x_1, 2x_2, 2x_3), & a_0 &= a_3^{-1}, \\ a_{\pm 1}(x_1, x_2, x_3) &= \left( \pm 2x_1, \pm \frac{x_2}{2}, \frac{x_3}{2} \right), & a_{\pm 2} &= a_{\pm 1}^{-1}. \end{aligned}$$

Положим

$$\begin{aligned} \bar{V}_0 &= \{(x_1, x_2, x_3, x_4) \in \mathbb{R}^3 \mid 4^{x_4} x_1^2 + 4^{x_4} x_2^2 + 4^{x_4} x_3^2 \leq 1\}, \\ \bar{V}_{\pm 1} &= \{(x_1, x_2, x_3, x_4) \in \mathbb{R}^3 \mid 4^{-x_4} x_1^2 + 4^{x_4} x_2^2 + 4^{x_4} x_3^2 \leq 1\}, \\ \bar{V}_{\pm 2} &= \{(x_1, x_2, x_3, x_4) \in \mathbb{R}^3 \mid 4^{-x_4} x_1^2 + 4^{-x_4} x_2^2 + 4^{x_4} x_3^2 \leq 1\}, \\ \bar{V}_3 &= \{(x_1, x_2, x_3, x_4) \in \mathbb{R}^3 \mid 4^{-x_4} x_1^2 + 4^{-x_4} x_2^2 + 4^{-x_4} x_3^2 \leq 1\}. \end{aligned}$$

Для  $i \in \{0, \pm 1, \pm 2, 3\}$  положим  $v_i = v_{a_i}$ ,  $\bar{\Sigma}_i = \partial \bar{V}_i$ ,  $V_i = v_i(\bar{V}_i)$  и  $\Sigma_i = v_i(\bar{\Sigma}_i)$ . Положим  $e_i = v_i(Ox_4)$ . Через  $\langle c \rangle_i$  будем обозначать число оборотов узла  $c \subset \Sigma_i$  вдоль образующей  $e_i$ .

Следующее утверждение, доказанное М. Ирвином [11], описывает поведение потоков в окрестности гиперболических периодических орбит.

**ПРЕДЛОЖЕНИЕ 7.** *Для любой гиперболической периодической орбиты  $\mathcal{O}$  потока  $f^t: M^4 \rightarrow M^4$ , заданного на замкнутом ориентируемом многообразии  $M^4$ , существуют трубчатая окрестность  $V_{\mathcal{O}}$  орбиты  $\mathcal{O}$  и число  $i_{\mathcal{O}} \in \{0, \pm 1, \pm 2, 3\}$  такие, что поток  $f^t|_{V_{\mathcal{O}}}$  топологически эквивалентен посредством некоторого гомеоморфизма  $H_{\mathcal{O}}$  потоку  $[a_{i_{\mathcal{O}}}]^t|_{V_{i_{\mathcal{O}}}}$ .*

Окрестность  $V_{\mathcal{O}} = H_{\mathcal{O}}(V_{i_{\mathcal{O}}})$ , описанную в предложении 7, назовем *канонической окрестностью* периодической орбиты  $\mathcal{O}$ .

При доказательстве топологической эквивалентности будем использовать следующий факт, который следует из доказательства теоремы 4 и леммы 4 в [17], а также может быть найден в [20; теорема 1.1].

**ПРЕДЛОЖЕНИЕ 8.** *Гомеоморфизм  $h_i: \Sigma_i \rightarrow \Sigma_i$  для  $i \in \{0, 3\}$  продолжается до гомеоморфизма  $H_i: V_i \rightarrow V_i$ , реализующего эквивалентность потока  $[a_i]^t$  с самим собой, тогда и только тогда, когда индуцированный изоморфизм  $h_{i*}: \pi_1(\Sigma_i) \rightarrow \pi_1(\Sigma_i)$  является тождественным.*

**3.3. Разбиение несущего многообразия на канонические окрестности.** Положим  $\bar{\Gamma} = \{(x_1, x_2, x_3, x_4) \in \bar{\Sigma}_2 \mid 4^{x_4} x_3^2 = 1/2\}$  и  $\bar{T} = Ox_2 x_3 x_4 \cap \bar{\Sigma}_2$ . По построению множество  $\bar{\Sigma}_2$  гомеоморфно  $\mathbb{S}^2 \times \mathbb{R}$ , множество  $\bar{\Gamma}$  состоит из двух

поверхностей, каждая из которых гомеоморфна  $\mathbb{S}^1 \times \mathbb{R}$ , делящих  $\bar{\Sigma}_2$  на три компоненты связности, одна из которых  $N_{\bar{T}}$  содержит цилиндр  $\bar{T} \cong \mathbb{S}^1 \times \mathbb{R}$ , а каждая из двух оставшихся гомеоморфна  $\mathbb{D}^2 \times \mathbb{R}$ . Тогда

- $\mathbb{T} = v_2(\bar{T})$  – двумерный тор с трубчатой окрестностью  $N_{\mathbb{T}} = v_2(\text{cl}(N_{\bar{T}}))$ , дополнение до которой в  $\Sigma_2 \cong \mathbb{S}^2 \times \mathbb{S}^1$  состоит из двух заполненных торов  $\mathbb{V}^-$ ,  $\mathbb{V}^+$ .

Рассмотрим поток  $f^t \in G$ . В силу леммы 1 поток  $f^t$  обладает единственной притягивающей орбитой  $A$  с канонической окрестностью  $V_A = H_A(V_0)$ , ограниченной многообразием  $\Sigma_A = \partial V_A \cong \mathbb{S}^2 \times \mathbb{S}^1$ . Пусть  $S$  – седловая орбита потока  $f^t$ . Тогда  $V_S = H_S(V_2)$  – каноническая окрестность орбиты  $S$ . Положим

$$T = H_S(\mathbb{T}), \quad N_T = H_S(N_{\mathbb{T}}), \quad V^- = H_S(\mathbb{V}^-), \quad V^+ = H_S(\mathbb{V}^+),$$

$$\Sigma_A^u = \left( \bigcup_{t>0, w \in N_T} f^t(w) \right) \cap \Sigma_A.$$

Обозначим через  $\lambda^\pm \subset \partial V^\pm$  образующую заполненного тора  $V^\pm$  и через  $\mu^\pm$  его меридиан. Определим непрерывную функцию  $\tau_A: \Sigma_A \rightarrow \mathbb{R}^+$  так, что  $f^{\tau_A(a)}(a) \in N_T$  для  $a \in \Sigma_A^u$ . Положим

$$\tilde{V}_A = V_A \cup \left( \bigcup_{a \in \Sigma_A} \left( \bigcup_{t \in [0, \tau_A(a)]} f^{-t}(a) \right) \right).$$

Непосредственно проверяется, что поток  $f^t|_{\tilde{V}_A}$  топологически эквивалентен надстройке  $[a_0]^t|_{V_0}$ . Поэтому везде далее мы будем полагать  $V_A = \tilde{V}_A$ . В силу равенства (3.1) каждая компонента связности множества

$$M^4 \setminus (V_A \cup V_S)$$

содержит в точности одну отталкивающую орбиту  $R$  и поток  $f^t$  на замыкании этой компоненты эквивалентен надстройке  $[a_3]^t|_{V_3}$ , в силу чего мы будем обозначать эту компоненту  $V_R$ . Обозначим через  $\mathcal{R}$  множество всех отталкивающих орбит потока  $f^t$ . Тогда несущее многообразие  $M^4$  представляется в виде объединения канонических окрестностей с попарно не пересекающимися внутренностями:

$$M^4 = V_A \cup V_S \cup \bigsqcup_{R \in \mathcal{R}} V_R. \quad (3.4)$$

**3.4. Число отталкивающих орбит.** Настоящий пункт посвящен доказательству леммы 2: для потоков множества  $G$  реализуются в точности две возможности:

- множество  $\mathcal{R}$  состоит из двух орбит  $R^-, R^+$  и хотя бы один из узлов  $L^- \subset \Sigma_{R^-}$ ,  $L^+ \subset \Sigma_{R^+}$  является стандартным;
- множество  $\mathcal{R}$  состоит из одной орбиты  $R$ , узлы  $L^-, L^+$  разделены в  $\Sigma_R$  2-сферой и хотя бы один из узлов является стандартным.

ДОКАЗАТЕЛЬСТВО ЛЕММЫ 2. Из формулы (3.4) следует, что

$$\Sigma_A \setminus \text{int } N_T = \Sigma_{\mathcal{R}} \setminus \text{int}(V^+ \sqcup V^-). \quad (3.5)$$

Положим  $Y = \Sigma_A \setminus \text{int } N_T$ . Поскольку  $N_T$  – трубчатая окрестность тора  $T$ , то  $\partial Y$  состоит из двух двумерных торов,  $T^+$  и  $T^-$ . При этом в силу формулы (3.5)

$$V^+ \cup_{h_+} Y \cup_{h_-} V^- = \Sigma_{\mathcal{R}}, \quad (3.6)$$

где  $h_{\pm}: \partial V^{\pm} \rightarrow T^{\pm}$  – некоторый гомеоморфизм. Обозначим через  $\mu^{\pm}$  меридиан заполненного тора  $V^{\pm}$ . В силу предложения 6 и леммы 3 для множества  $Y$  возможны следующие варианты:

- 1)  $Y$  состоит из двух компонент связности, хотя бы одна из которых является заполненным тором;
- 2)  $Y$  связно и содержит 2-сферу  $\Lambda$  такую, что множество  $Y \setminus \Lambda$  состоит из двух компонент связности, замыкание одной из которых  $\dot{Y}^+$  гомеоморфно заполненному тору без 3-шара, другой  $\dot{Y}^-$  – 3-шару без заполненного тора;
- 3)  $Y$  состоит из двух компонент связности, одна из которых гомеоморфна дополнению 3-сферы  $S^3$  до трубчатой окрестности нетривиального узла.

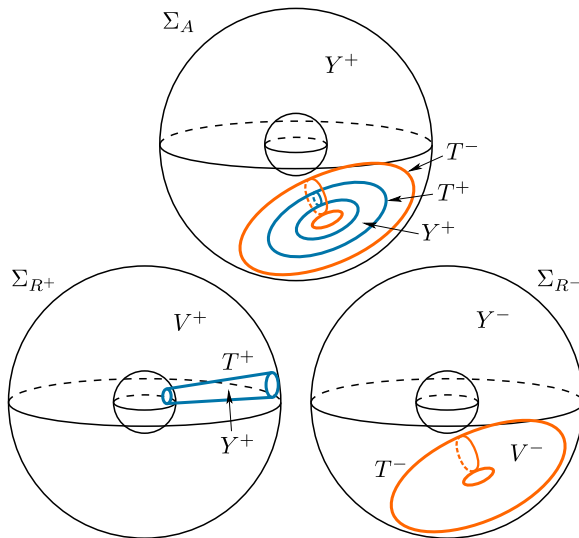


Рис. 7. Иллюстрация к доказательству леммы 2, случай 1).

Далее рассмотрим каждый случай отдельно.

1) Обозначим через  $Y^+$ ,  $Y^-$  компоненты связности множества  $Y$ , ограниченные торами  $T^+$ ,  $T^-$  соответственно. Тогда из формулы (3.6) следует, что множество  $\Sigma_{\mathcal{R}}$  также состоит из двух компонент связности. Следовательно, множество  $\mathcal{R}$  состоит в точности из двух орбит  $R^-, R^+$  таких, что  $\Sigma_{R^{\pm}} = V^{\pm} \cup_{h_{\pm}} Y^{\pm}$ . Поскольку хотя бы одно из множеств  $Y^+$ ,  $Y^-$  (положим для определенности  $Y^+$ ) гомеоморфно заполненному тору, то многообразие  $\Sigma_{R^+}$

получается склейкой двух заполненных торов  $V^+ \cup_{h_+} Y^+$ . Поскольку многообразие  $\Sigma_{R^+}$  гомеоморфно многообразию  $\Sigma$ , то в силу предложения 3  $h_+(\mu^+)$  – меридиан заполненного тора  $Y^+$ , а в силу предложения 4 узел  $L^+$  является стандартным в  $\Sigma_{R^+}$ . Кроме того, по построению  $h_-(\mu^-)$  – меридиан заполненного тора  $\Sigma_A \setminus Y^-$  и, следовательно, в силу предложения 2 многообразие  $V^- \cup_{h_-} Y^-$  гомеоморфно многообразию  $\Sigma_A$  (рис. 7). Таким образом, случай 1) возможен, и мы доказали утверждение леммы в этом случае.

2) Поскольку множество  $Y$  связно, то из формулы (3.6) следует, что множество  $\Sigma_{\mathcal{R}}$  также связно. Следовательно, множество  $\mathcal{R}$  состоит в точности из одной орбиты  $R$  такой, что  $\Sigma_{\mathcal{R}} = V^+ \cup_{h_+} Y \cup_{h_-} V^-$ . Кроме того, 2-сфера  $\Lambda$  разделяет в  $\Sigma_{\mathcal{R}}$  заполненные торы  $V^+, V^-$ , а значит, и узлы  $L^+, L^-$ . С другой стороны, в силу предложения 1 она ограничивает 3-шар  $B \subset \Sigma_{\mathcal{R}}$ , в котором лежит один из этих заполненных торов, для определенности положим, что это тор  $V^-$  (рис. 8). Тогда  $B \setminus \text{int } V^- = \dot{Y}^-$  и  $\Sigma_{\mathcal{R}} \setminus \text{int}(B \cup V^+) = \dot{Y}^+$ . Из последнего равенства следует, что  $\Sigma_{\mathcal{R}} \setminus \text{int } V^+ = \dot{Y}^+ \cup B$ . Поскольку  $\dot{Y}^+ \cup B$  – заполненный тор, то узел  $L^+$  является стандартным в  $\Sigma_{\mathcal{R}}$ .

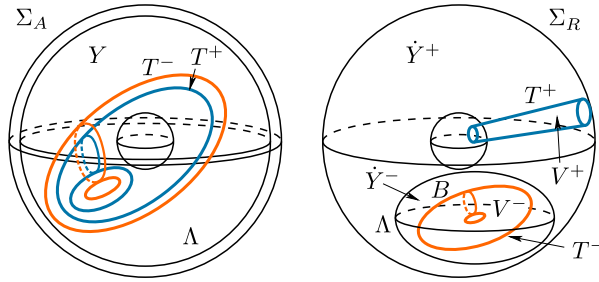


Рис. 8. Иллюстрация к доказательству леммы 2, случай 2).

3) Поскольку  $Y$  состоит из двух компонент связности, одна из которых гомеоморфна дополнению 3-сферы  $S^3$  до трубчатой окрестности нетривиального узла, то компонента связности множества  $\Sigma_{\mathcal{R}}$  получается из нее приклеиванием заполненного тора к ее границе. В силу предложения 5 полученное множество не может быть гомеоморфно многообразию  $\Sigma$ , что говорит о нереализуемости случая 3).

Лемма 2 доказана.

#### § 4. Необходимые и достаточные условия эквивалентности потоков класса $G$

В настоящем параграфе мы докажем теорему 1: потоки  $f^t, f'^t \in G$  топологически эквивалентны тогда и только тогда, когда их схемы  $\mathcal{S}_{f^t}, \mathcal{S}_{f'^t}$  эквивалентны.

ДОКАЗАТЕЛЬСТВО ТЕОРЕМЫ 1.  $\Rightarrow$ . Пусть потоки  $f^t: M^4 \rightarrow M^4 \in G$  и  $f'^t: M'^4 \rightarrow M'^4 \in G$  топологически эквивалентны посредством гомеоморфизма  $h: M^4 \rightarrow M'^4$ . Поскольку  $h$  переводит периодические орбиты потока  $f^t$  в периодические орбиты потока  $f'^t$  с сохранением направления движения по орбите и ее инвариантных многообразий, то  $\Omega_{f^t} = \{\mathcal{O}' = h(\mathcal{O}), \mathcal{O} \in \Omega_{f^t}\}$ . Тогда, не умаляя общности, можно считать, что  $V_{\mathcal{O}'} = h(V_{\mathcal{O}})$ . Следовательно,  $\varphi = h|_{\Sigma_R}: \Sigma_R \rightarrow \Sigma_{R'}$  – искомый гомеоморфизм, осуществляющий эквивалентность схем  $\mathcal{S}_{f^t}$ ,  $\mathcal{S}_{f'^t}$  и  $\rho_i = \rho'_i$ ,  $i = 1, 2$ .

$\Leftarrow$ . Пусть  $\varphi: \Sigma_R \rightarrow \Sigma_{R'}$  – гомеоморфизм, осуществляющий эквивалентность схем  $\mathcal{S}_{f^t}$ ,  $\mathcal{S}_{f'^t}$  потоков  $f^t: M^4 \rightarrow M^4 \in G$ ,  $f'^t: M'^4 \rightarrow M'^4 \in G$ .

Построим по шагам гомеоморфизм  $h: M^4 \rightarrow M'^4$ , осуществляющий эквивалентность этих потоков.

По предложению 7 существует гомеоморфизм  $H_S$ , осуществляющий эквивалентность потока  $f^t|_{V_S}$  с надстройкой  $[a_{+1}]|_{V_{+1}}$ . Положим

$$\varphi_S = H_{S'} H_S^{-1}: V_S \rightarrow V_{S'}.$$

Тогда гомеоморфизм  $\varphi_S$  осуществляет эквивалентность потоков  $f^t|_{V_S}$  и  $f'^t|_{V_{S'}}$ , откуда следует, что  $\varphi_S(T) = T'$ ,  $\varphi_S(N_T) = N_{T'}$  и гомеоморфизм  $\varphi_S$  переводит пару узлов  $L^-, L^+$  в пару узлов  $L'^-, L'^+$  с сохранением их ориентации. С другой стороны, гомеоморфизм  $\varphi: \Sigma_R \rightarrow \Sigma_{R'}$  переводит узел  $L^-$  в узел  $L'^-$  с сохранением ориентации. Не умаляя общности, будем считать, что  $\varphi(V^-) = V'^-$ . Тогда изоморфизм, индуцированный гомеоморфизмом  $\varphi|_{T^-}: T^- \rightarrow T'^-$ , в образующих  $\lambda^-, \mu^-, \lambda'^-, \mu'^-$  задается матрицей

$$A = \begin{pmatrix} 1 & k \\ 0 & \delta \end{pmatrix}, \quad k \in \mathbb{Z}, \quad \delta \in \{-1, 1\}.$$

Определим гомеоморфизм  $Q: \mathbb{V}_1 \rightarrow \mathbb{V}_1$  формулой

$$Q = v_{a_2} \bar{Q} v_{a_2}^{-1}, \quad \text{где } \bar{Q}(x_1, x_2, x_3, x_4) = (\delta_1 x_1, \tilde{Q}(x_2, x_3), x_4): \mathbb{V}_1 \rightarrow \mathbb{V}_1,$$

$\delta_1 \in \{-1, 1\}$  и  $\tilde{Q}: O x_2 x_3 \rightarrow O x_2 x_3$  – линейный диффеоморфизм, заданный матрицей

$$\begin{pmatrix} 1 & k_2 \\ 0 & \delta_2 \end{pmatrix}, \quad k_2 \in \mathbb{Z}, \quad \delta_2 \in \{-1, 1\}.$$

Непосредственно проверяется, что построенный гомеоморфизм  $Q$  осуществляет эквивалентность потока  $[a_2]^t$  с самим собой. Положим

$$h_S = H_{S'} Q H_S^{-1}: V_S \rightarrow V_{S'},$$

выбрав значение  $\delta_1$  так, что  $h_S(V^-) = V'^-$ , и значения  $\delta_2, k_2$  так, что изоморфизм, индуцированный гомеоморфизмом  $h_S|_{T^-}: T^- \rightarrow T'^-$ , в образующих  $\lambda^-, \mu^-, \lambda'^-, \mu'^-$  записывается матрицей  $A$ .

Таким образом, гомеоморфизмы  $\varphi|_{T^-}, h_S|_{T^-}: T^- \rightarrow T'^-$  изотопны (см., например, [18]), а значит, существует гомеоморфизм  $h_-: \Sigma_R \rightarrow \Sigma_{R'}$ , совпадающий с гомеоморфизмом  $h_S$  на  $V_-$  и совпадающий с  $\varphi$  вне некоторой окрестности заполненного тора  $V_-$ .

Далее рассмотрим отдельно два случая: 1)  $|\rho_2| = 2$ ; 2)  $|\rho_2| = 1$ .

В случае 1) поток  $f^t$  ( $f^{t'}$ ) имеет две отталкивающие орбиты  $R^-, R^+$  ( $R'^-, R'^+$ ) и трубчатая окрестность  $N_T$  ( $N_{T'}$ ) тора  $T$  ( $T'$ ) делит многообразие  $\Sigma_A$  ( $\Sigma_{A'}$ ) на две компоненты связности  $Y^-, Y^+$  ( $Y'^-, Y'^+$ ), ограниченные торами  $T^-, T^+$  ( $T'^-, T'^+$ ) соответственно. В силу леммы 2 узел  $L^+$  ( $L'^+$ ) является стандартным в многообразии  $\Sigma_{R^+}$  ( $\Sigma_{R'^+}$ ), а следовательно, множество  $Y^+$  ( $Y'^+$ ) гомеоморфно заполненному тору. При этом  $\Sigma_{R^+} = V^+ \cup Y^+$  ( $\Sigma_{R'^+} = V'^+ \cup Y'^+$ ).

На множестве  $V^+$  определен гомеоморфизм  $h_{R^+} = h_S|_{V^+}: V^+ \rightarrow V'^+$ . Поскольку изоморфизм, индуцированный гомеоморфизмом  $h_{R^+}|_{T^+}: T^+ \rightarrow T'^+$ , в образующих  $\lambda^+, \mu^+, \lambda'^+, \mu'^+$  задается матрицей  $\mathcal{A}$ , то  $h_{R^+}|_{T^+}$  переводит меридиан заполненного тора  $Y^+$  в меридиан заполненного тора  $Y'^+$ . В этом случае (см., например, [18]) гомеоморфизм  $h_{R^+}$  продолжается на заполненный тор  $Y^+$  гомеоморфизмом  $h_{R^+}: \Sigma_{R^+} \rightarrow \Sigma_{R'^+}$ .

Положим  $h_{R^-} = h_-$ . Тогда на множестве  $\Sigma_A$  определен гомеоморфизм  $h_A: \Sigma_A \rightarrow \Sigma_{A'}$ , совпадающий с гомеоморфизмом  $h_S$  на  $N_T$ , с гомеоморфизмом  $h_{R^-}$  на  $\Sigma_{R^-} \setminus \text{int } V^-$  и с гомеоморфизмом  $h_{R^+}$  на  $\Sigma_{R^+} \setminus \text{int } V^+$ .

Поскольку  $\rho_i = \rho'_i$ ,  $i = 1, 2$ , то в силу предложения 8 гомеоморфизм  $h_{\mathcal{O}}: \Sigma_{\mathcal{O}} \rightarrow \Sigma_{\mathcal{O}'}$ ,  $\mathcal{O} \in \{R^-, A, R^+\}$ , продолжается до гомеоморфизма  $h_{\mathcal{O}}: V_{\mathcal{O}} \rightarrow V_{\mathcal{O}'}$ , осуществляющего эквивалентность потоков  $f^t|_{V_{\mathcal{O}}}$  и  $f^{t'}|_{V_{\mathcal{O}'}}$ . Таким образом, искомый гомеоморфизм  $h: M^4 \rightarrow M'^4$  совпадает с гомеоморфизмом  $h_{\mathcal{O}}$ ,  $\mathcal{O} \in \{S, A, R^-, R^+\}$ , на  $V_{\mathcal{O}}$ .

В случае 2) поток  $f^t$  ( $f^{t'}$ ) имеет одну отталкивающую орбиту  $R$  ( $R'$ ). В силу леммы 2 узел  $L^+$  ( $L'^+$ ) является стандартным в многообразии  $\Sigma_R$  ( $\Sigma_{R'}$ ), а заполненный тор  $V^-$  ( $V'^-$ ) лежит в 3-шаре  $B \subset (\Sigma_R \setminus V^+)$  ( $B' \subset (\Sigma_{R'} \setminus V'^+)$ ). Поскольку гомеоморфизм  $h_-: \Sigma_{R^-} \rightarrow \Sigma_{R'^-}$  переводит заполненный тор  $V^-$  в заполненный тор  $V'^-$ , то, не умаляя общности, можно считать, что  $B' = h_-(B) \subset (\Sigma_{R'} \setminus V'^+)$ .

Положим  $\tilde{L}^+ = h_-^{-1}(L'^+)$ ,  $\tilde{V}^+ = h_-^{-1}(V'^+)$ . Поскольку узлы  $L^+, \tilde{L}^+$  являются стандартными в многообразии  $\Sigma_R$ , то существует разбиение многообразия  $\Sigma_R$  на два заполненных тора  $W^+, W^-$  таких, что  $B \subset \text{int } W^-$  и  $V^+, \tilde{V}^+ \subset \text{int } W^+$ . Тогда пространства  $W^+ \setminus \text{int } V^+$ ,  $W^+ \setminus \text{int } \tilde{V}^+$  гомеоморфны многообразию  $\mathbb{T}^2 \times [0, 1]$ . Следовательно, существует гомеоморфизм  $\psi: \Sigma_R \rightarrow \Sigma_{R'}$ , тождественный на  $W^-$  и такой, что  $\psi(L^+) = \tilde{L}^+$ ,  $\psi(V^+) = \tilde{V}^+$ . Положим  $\tilde{h}_- = h_- \psi: \Sigma_R \rightarrow \Sigma_{R'}$ . Тогда  $\tilde{h}_-(V^+) = V'^+$ .

Положим  $\tilde{W}^- = \Sigma_R \setminus \text{int } V^+$  и  $\tilde{W}'^- = \Sigma_{R'} \setminus \text{int } V'^+$ . Поскольку  $B \subset \tilde{W}^-$  – 3-шар и  $\tilde{W}^-, \tilde{W}'^-$  – заполненные торы, то существует гомеоморфизм  $\tilde{\psi}: \tilde{W}^- \rightarrow \tilde{W}'^-$ , тождественный на  $B$  и такой, что изоморфизм, индуцированный гомеоморфизмом  $\tilde{h}_- \tilde{\psi}|_{T^+}: T^+ \rightarrow T'^+$ , в образующих  $\lambda^+, \mu^+, \lambda'^+, \mu'^+$  задается матрицей  $\mathcal{A}$ . Тогда существует гомеоморфизм  $h_R: \Sigma_R \rightarrow \Sigma_{R'}$ , совпадающий с  $h_S$  на  $V^+$  и с  $\tilde{h}_- \tilde{\psi}$  вне некоторой окрестности заполненного тора  $V^+$ . Тогда на множестве  $\Sigma_A$  определен гомеоморфизм  $h_A: \Sigma_A \rightarrow \Sigma_{A'}$ , совпадающий с гомеоморфизмом  $h_S$  на  $N_T$  и с гомеоморфизмом  $h_R$  на  $\Sigma_R \setminus \text{int}(V^- \cup V^+)$ .

Поскольку  $\rho_i = \rho'_i$ ,  $i = 1, 2$ , то в силу предложения 8 гомеоморфизм  $h_{\mathcal{O}}: \Sigma_{\mathcal{O}} \rightarrow \Sigma_{\mathcal{O}'}$ ,  $\mathcal{O} \in \{R, A\}$ , продолжается до гомеоморфизма  $h_{\mathcal{O}}: V_{\mathcal{O}} \rightarrow V_{\mathcal{O}'}$ ,

осуществляющего эквивалентность потоков  $f^t|_{V_O}$  и  $f^{t'}|_{V_{O'}}$ . Таким образом, искомый гомеоморфизм  $h: M^4 \rightarrow M'^4$  совпадает с гомеоморфизмом  $h_O$ ,  $O \in \{S, A, R\}$ , на  $V_O$ .

Теорема 1 доказана.

## § 5. Реализация потоков класса $G$ по допустимой абстрактной схеме

Напомним, что абстрактной схемой мы назвали набор

$$\mathcal{S} = (\Sigma, L, \rho_1, \rho_2)$$

со следующими свойствами:

- множество  $\Sigma$  гомеоморфно многообразию  $\mathbb{S}^2 \times \mathbb{S}^1$  с фиксированной образующей  $e$ ;
- $L$  – произвольный узел, гладко вложенный в  $\Sigma$ ;
- $\rho_1 \in \{-1, 1\}$ ;
- $\rho_2 \in \{-2, -1, 1, 2\}$  и  $|\rho_2| = 2$ , если узел  $L$  не гомотопен нулю в  $\Sigma$ .

В этом параграфе мы докажем теорему 2: для любой абстрактной схемы  $\mathcal{S}$  существует поток  $f^t \in G$ , схема которого ей эквивалентна.

**ДОКАЗАТЕЛЬСТВО ТЕОРЕМЫ 2.** Пусть  $\mathcal{S} = (\Sigma, L, \rho_1, \rho_2)$  – некоторая абстрактная схема. Будем обозначать через  $\langle L \rangle$  гомотопический тип узла  $L$ , равный числу его обходов (с учетом ориентации) вокруг образующей  $e$  многообразия  $\Sigma$ . Опишем реализацию набора

$$\mathcal{S} = (\Sigma, L, \rho_1, \rho_2)$$

потоком  $f^t \in G$ , схема которого ему эквивалентна, отдельно для двух случаев: 1)  $\langle L \rangle \neq 0$ ; 2)  $\langle L \rangle = 0$ .

В случае 1) сначала реализуем надстройкой любую схему вида  $\mathcal{S} = (\Sigma, L, 1, 2)$ ,  $\langle L \rangle > 0$ . Для этого опишем построение диффеоморфизма  $f_L: \mathbb{S}^3 \rightarrow \mathbb{S}^3$  по узлу  $L$ . Искомый поток будет надстройкой над построенным диффеоморфизмом. Затем покажем, как модифицировать надстройку, чтобы получить поток, реализующий произвольную схему вида 1). Поскольку согласно [3] любой 3-диффеоморфизм Морса–Смейла с единственной седловой орбитой топологически сопряжен диффеоморфизму  $f_L$ , то тем самым мы докажем теорему 3.

**Построение диффеоморфизма  $f_L: \mathbb{S}^3 \rightarrow \mathbb{S}^3$ .** Пусть  $\mathbf{x} = (x_1, x_2, x_3) \in \mathbb{R}^3$ ,  $\|\mathbf{x}\| = \sqrt{x_1^2 + x_2^2 + x_3^2}$  и  $\nu: \mathbb{R}^3 \rightarrow \mathbb{R}^3$  – диффеоморфизм, заданный формулой

$$\nu(\mathbf{x}) = 2\mathbf{x}.$$

Определим отображение  $p: \mathbb{R}^3 \setminus O \rightarrow \Sigma$  формулой

$$p(\mathbf{x}) = \left( \frac{x}{\|\mathbf{x}\|}, \log_2(\|\mathbf{x}\|) \pmod{1} \right).$$

Пусть  $L \subset \Sigma$  – такой узел, что  $\langle L \rangle = m \in \mathbb{N}$ . Тогда множество  $\bar{L} = p^{-1}(L)$  состоит из  $\nu$ -инвариантного объединения  $m$  дуг:

$$\bar{L} = \bar{L}_0 \sqcup \dots \sqcup \nu^{m-1}(\bar{L}_0).$$

Пусть  $U(L) \subset \Sigma$  – трубчатая окрестность узла  $L$ . Тогда  $U(\bar{L}) = p^{-1}(U(L))$  –  $\nu$ -инвариантная окрестность дуг  $\bar{L}$ , состоящая из  $m$  компонент связности  $U(\bar{L}_0), \dots, \nu^{m-1}(U(\bar{L}_0))$ , каждая из которых диффеоморфна  $\mathbb{D}^2 \times \mathbb{R}$ .

Пусть  $C = \{(x_1, x_2, x_3) \in \mathbb{R}^3 : x_2^2 + x_3^2 \leq 4\}$ , и пусть диффеоморфизм  $g: C \rightarrow C$  определен формулой

$$g(x_1, x_2, x_3) = (x_1 + 1, x_2, x_3).$$

Определим диффеоморфизм  $g_m: C \times \mathbb{Z}_m \rightarrow C \times \mathbb{Z}_m$  формулой

$$g_m(\mathbf{x}, j) = (g(\mathbf{x}), j + 1 \pmod{m}), \quad \mathbf{x} \in C, \quad j \in \mathbb{Z}_m.$$

Тогда существует диффеоморфизм  $\zeta: U(\bar{L}) \rightarrow C \times \mathbb{Z}_m$ , который сопрягает диффеоморфизмы  $\nu|_{U(\bar{L})}$  и  $g_m$ . Определим поток  $\phi^t$  на  $C$  следующими формулами:

$$\begin{cases} \dot{x}_1 = \begin{cases} -\cos\left(\frac{\pi\|\mathbf{x}\|}{2}\right), & \|\mathbf{x}\| \leq 2, \\ 1, & \|\mathbf{x}\| > 2; \end{cases} \\ \dot{x}_2 = \begin{cases} x_2, & \|\mathbf{x}\| < 1, \\ x_2\left(1 + \cos\left(\frac{3\pi\|\mathbf{x}\|}{2}\right)\right), & 1 \leq \|\mathbf{x}\| \leq 2, \\ 0, & \|\mathbf{x}\| > 2; \end{cases} \\ \dot{x}_3 = \begin{cases} x_3, & \|\mathbf{x}\| < 1, \\ x_3\left(1 + \cos\left(\frac{3\pi\|\mathbf{x}\|}{2}\right)\right), & 1 \leq \|\mathbf{x}\| \leq 2, \\ 0, & \|\mathbf{x}\| > 2. \end{cases} \end{cases}$$

По построению диффеоморфизм  $\phi = \phi^1$  имеет две неподвижные точки: седло  $P(-1, 0, 0)$  и источник  $Q(1, 0, 0)$  (рис. 9), обе гиперболические.

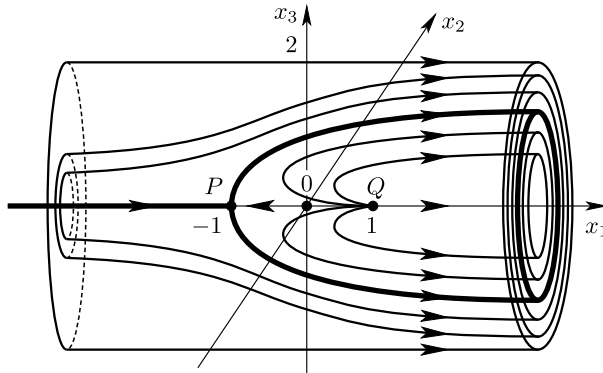


Рис. 9. Траектории потока  $\phi^t$ .

Одна устойчивая сепаратриса седла  $P$  совпадает с открытым интервалом  $\{(x_1, x_2, x_3) \in \mathbb{R}^3: |x_1| < 1, x_2 = x_3 = 0\}$ , принадлежащим бассейну источника  $Q$ , а другая – с лучом  $\{(x_1, x_2, x_3) \in \mathbb{R}^3: x_1 < -1, x_2 = x_3 = 0\}$ . Кроме того,  $\phi$  совпадает с диффеоморфизмом  $g$  вне шара  $\{(x_1, x_2, x_3) \in C: x_1^2 + x_2^2 + x_3^2 \leq 4\}$ .

Определим диффеоморфизм  $\phi_m: C \times \mathbb{Z}_m \rightarrow C \times \mathbb{Z}_m$  формулой

$$\phi_m(\mathbf{x}, j) = (\phi(\mathbf{x}), j + 1 \pmod{m}), \quad \mathbf{x} \in C, \quad j \in \mathbb{Z}_m.$$

Определим диффеоморфизм  $\bar{f}_L: \mathbb{R}^3 \rightarrow \mathbb{R}^3$  таким образом, что  $\bar{f}_L$  совпадает с  $\nu$  вне  $U(\bar{L})$  и совпадает с диффеоморфизмом  $\zeta^{-1}\phi_m\zeta$  на  $U(\bar{L})$ . Тогда  $\bar{f}_L$  имеет в  $U(\bar{L})$  две периодические орбиты периода  $m$ : источниковую  $\bar{\alpha} \sqcup \bar{f}_L(\bar{\alpha}) \sqcup \dots \sqcup \bar{f}_L^{m-1}(\bar{\alpha}) = \zeta^{-1}(Q \times \mathbb{Z}_m)$  и седловую  $\bar{\sigma} \sqcup \bar{f}_L(\bar{\sigma}) \sqcup \dots \sqcup \bar{f}_L^{m-1}(\bar{\sigma}) = \zeta^{-1}(P \times \mathbb{Z}_m)$ , обе гиперболические (рис. 10).

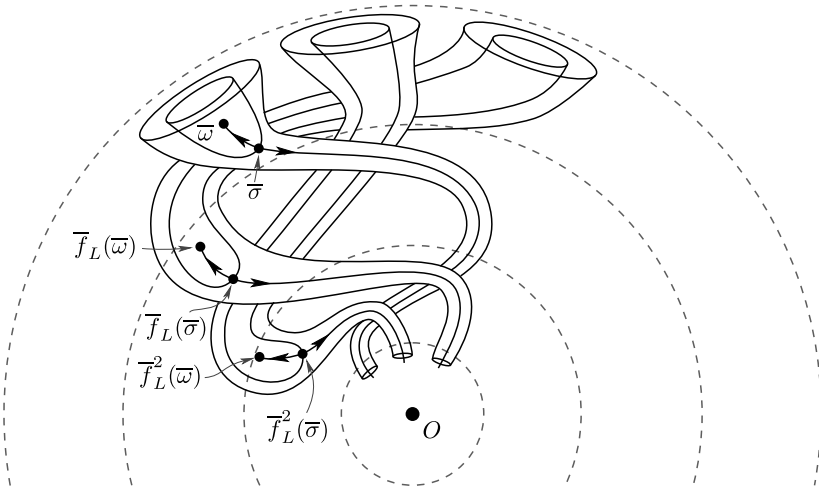


Рис. 10. Фазовый портрет диффеоморфизма  $\bar{f}_L$ .

Теперь спроецируем динамику на 3-сферу. Для этого обозначим через  $N(0, 0, 0, 1)$  северный полюс сферы  $\mathbb{S}^3 = \{s = (x_1, x_2, x_3, x_4): x_1^2 + x_2^2 + x_3^2 + x_4^2 = 1\}$ . Для каждой точки  $s \in (\mathbb{S}^3 \setminus N)$  существует единственная прямая, проходящая через  $N$  и  $s$  в  $\mathbb{R}^4$ , и эта прямая пересекает  $\mathbb{R}^3$  в единственной точке  $\vartheta(s)$ . *Стереографическая проекция*  $\vartheta: \mathbb{S}^3 \setminus N \rightarrow \mathbb{R}^3$ , переводящая точку  $s$  в точку  $\vartheta(s)$ , является диффеоморфизмом и задается формулой

$$\vartheta(x_1, x_2, x_3, x_4) = \left( \frac{x_1}{1 - x_4}, \frac{x_2}{1 - x_4}, \frac{x_3}{1 - x_4} \right).$$

По построению диффеоморфизм  $\bar{f}_L$  совпадает с  $\nu$  в некоторой окрестности точки  $O$  и в окрестности бесконечно удаленной точки, следовательно, он

индуцирует на  $\mathbb{S}^3$  диффеоморфизм Морса–Смейла

$$f_L(s) = \begin{cases} \vartheta^{-1} \bar{f}_L \vartheta(s), & s \neq N, \\ N, & s = N. \end{cases}$$

Неблуждающее множество диффеоморфизма  $f_L$  состоит из четырех орбит: неподвижного стока  $N$ , неподвижного источника  $\vartheta^{-1}(O)$ , источниковой орбиты  $\mathcal{O}_\alpha = \alpha \sqcup f_L(\alpha) \sqcup \dots \sqcup f_L^{m-1}(\alpha) = \vartheta^{-1}(\zeta^{-1}(Q \times \mathbb{Z}_m))$  периода  $m$  и седловой орбиты  $\mathcal{O}_\sigma = \sigma \sqcup f_L(\sigma) \sqcup \dots \sqcup f_L^{m-1}(\sigma) = \vartheta^{-1}(\zeta^{-1}(P \times \mathbb{Z}_m))$  периода  $m$ .

*Построение и модификация надстройки.* Обозначим через  $[f_L]^t: \mathbb{S}^3 \times \mathbb{S}^1$  надстройку над диффеоморфизмом  $f_L$ . Тогда неблуждающее множество потока  $f^t = [f_L]^t$  состоит из четырех периодических орбит: притягивающей  $A$ , отталкивающих  $R^-$  и  $R^+$ , седловой  $S$ , являющихся надстройками над орбитами  $N, \vartheta^{-1}(O), \mathcal{O}_\alpha, \mathcal{O}_\sigma$  соответственно. Непосредственно из построения следует, что построенный поток принадлежит классу  $G$ , а его схема эквивалентна схеме  $(\Sigma, L, 1, 2)$  и  $\langle L \rangle = m$ .

Для реализации потока с отрицательными параметрами в схеме модифицируем поток в окрестности периодических орбит следующим образом.

Пусть  $\mathcal{O}$  – притягивающая или отталкивающая периодическая орбита потока  $f^t$  и  $V_{\mathcal{O}}$  – ее каноническая окрестность с границей  $\Sigma_{\mathcal{O}}$ . Положим

$$V_{\mathcal{O}}^t = f^t(V_{\mathcal{O}}), \quad \Sigma_{\mathcal{O}}^t = f^t(\Sigma_{\mathcal{O}}), \quad t \in \mathbb{R}, \quad K_{\mathcal{O}} = \bigcup_{t \in [-1, 1]} f^t(\Sigma_{\mathcal{O}}).$$

Тогда  $K_{\mathcal{O}} \cong \Sigma \times [-1, 1]$ . Пусть  $x \in \Sigma$ ,  $t \in [-1, 1]$  и  $\vec{v}_{\mathcal{O}}(x, t)$  – векторное поле, индуцированное потоком  $f^t$  на  $K_{\mathcal{O}}$  и  $\vec{n}_{\mathcal{O}}(x, t)$  – векторное поле единичных внешних нормалей к гиперповерхностям  $f^t(\Sigma_{\mathcal{O}}) \cong \Sigma \times \{t\}$ . Определим векторное поле  $\vec{w}_{\mathcal{O}}(x, t)$  на  $K_{\mathcal{O}}$  формулой

$$\vec{w}_{\mathcal{O}}(x, t) = (1 - |t|)\vec{n}_{\mathcal{O}}(x, t) + |t|\vec{v}_{\mathcal{O}}(x, t).$$

Обозначим через  $\phi_{\mathcal{O}}^t$  поток на  $K_{\mathcal{O}}$ , порожденный векторным полем  $\vec{w}_{\mathcal{O}}$ . Не умаляя общности, будем считать, что окрестности  $V_A^{-1}, V_{R^-}^1, V_{R^+}^1$  попарно не пересекаются, и обозначим через  $\phi^t$  поток на  $\mathbb{S}^3 \times \mathbb{S}^1$ , совпадающий с потоком  $\phi_{\mathcal{O}}^t$  на множествах  $K_{\mathcal{O}}, \mathcal{O} \in \{A, R^+, R^-\}$ , и с потоком  $f^t$  вне этих множеств. По построению поток  $\phi^t$  принадлежит множеству  $G$ , его периодические орбиты совпадают с орбитами  $A, R^-, R^+, S$ , а его схема эквивалентна схеме  $(\Sigma, L, 1, 2)$ .

Пусть  $\mathcal{O}$  – притягивающая или отталкивающая периодическая орбита потока  $\phi^t$ . Тогда  $V_{\mathcal{O}} \cong \mathbb{D}^3 \times \mathbb{S}^1$ . Пусть  $d \in \mathbb{D}^3$ ,  $e^{i\varphi} \in \mathbb{S}^1$ . Для  $\delta \in \{-1, +1\}$  определим диффеоморфизм  $g_{\mathcal{O}, \delta}: V_{\mathcal{O}} \rightarrow V_{\mathcal{O}}$  формулой

$$g_{\mathcal{O}, \delta}(d, e^{i\varphi}) = (d, e^{i\delta\varphi}).$$

Для схемы  $\mathcal{S} = (\Sigma, \delta_0 L, \delta_1, 2\delta_2)$ , где  $\delta_i \in \{-1, +1\}$ ,  $i = 0, 1, 2$ , определим на  $\mathbb{S}^3 \times \mathbb{S}^1$  поток  $f_{\mathcal{S}}^t$  формулой

$$f_{\mathcal{S}}^t(x) = \begin{cases} g_{R^-, \delta_0} \phi^t g_{R^-, \delta_0}(x), & x \in V_{R^-}, \\ g_{R^+, \delta_1} \phi^t g_{R^+, \delta_1}(x), & x \in V_{R^+}, \\ g_{A, \delta_0 \delta_2} \phi^t g_{A, \delta_0 \delta_2}(x), & x \in V_A, \\ \phi^t(x) & \text{в ином случае.} \end{cases}$$

По построению поток  $f_{\mathcal{S}}^t$  имеет инвариант  $\mathcal{S}$ , а его несущим многообразием является  $\mathbb{S}^3 \times \mathbb{S}^1$ .

В случае 2) поток будем реализовывать “сшиванием” канонических окрестностей.

Пусть  $\mathcal{S} = (\Sigma, L, \rho_1, \rho_2)$  – схема, в которой узел  $L \subset \Sigma$  такой, что  $\langle L \rangle = 0$ .

Дальнейшие построения проведем отдельно для двух следующих случаев: 2i)  $|\rho_2| = 1$ ; 2ii)  $|\rho_2| = 2$ .

В случае 2i), поскольку  $\langle L \rangle = 0$ , существует 3-шар  $B \subset \Sigma$ , содержащий узел  $L$  в своей внутренности. Выберем стандартный узел  $L^+ \subset (\Sigma \setminus B)$  так, что  $\langle L^+ \rangle = \rho_1$ . Выберем попарно не пересекающиеся трубчатые окрестности  $U^-, U^+ \subset \Sigma$  узлов  $L, L^+$  соответственно. Положим  $E_R^+ = \text{cl}(\Sigma \setminus (U^+ \cup B))$ ,  $E_R^- = \text{cl}(B \setminus U^-)$ . Пусть  $p_{\rho_2}: \mathbb{S}^2 \times [0, 1] \rightarrow \Sigma_0$  – гладкое отображение, являющееся диффеоморфизмом на  $\mathbb{S}^2 \times (0, 1)$  и такое, что  $p_{\rho_2}(s, 0) = p_{\rho_2}(s, 1)$ ,  $\langle p_{\rho_2}(\{s\} \times [0, 1]) \rangle_0 = \rho_2$ . Выберем в многообразии  $\mathbb{S}^2 \times [0, 1]$  гладкое подмногообразие  $N \cong \mathbb{T}^2 \times [-1, 1]$  так, что множество  $\mathbb{S}^2 \times [0, 1] \setminus \text{int } N$  состоит из двух компонент связности,  $E_A^- \cong E_R^-$  и  $E_A^+ \cong E_R^+$ , содержащих сферы  $\mathbb{S}^2 \times \{0\}$  и  $\mathbb{S}^2 \times \{1\}$  соответственно в своих границах.

Напомним, что  $\mathbb{T} = v_2(\overline{\mathbb{T}})$  – двумерный тор с трубчатой окрестностью  $N_{\mathbb{T}} = v_2(\text{cl}(N_{\overline{\mathbb{T}}}))$ , дополнение до которой в  $\Sigma_2 \cong \mathbb{S}^2 \times \mathbb{S}^1$  состоит из двух заполненных торов,  $\mathbb{V}^-$  и  $\mathbb{V}^+$  (см. п. 3.3). Положим  $U = p_{\rho_2}(N)$ ,  $U_A = \text{cl}(\Sigma_0 \setminus U)$  и  $U_R = \text{cl}(\Sigma \setminus (U^+ \cup U^-))$ . Тогда существуют диффеоморфизмы  $j_R: U^- \sqcup U^+ \rightarrow \mathbb{V}^- \sqcup \mathbb{V}^+$ ,  $j_A: U \rightarrow N_{\mathbb{T}}$ ,  $j_{RA}: U_R \rightarrow U_A$  такие, что

$$\begin{aligned} \langle j_R(L) \rangle_2 &= \langle j_R(L^+) \rangle_2 = 1, \\ j_{RA}(E_R^-) &= E_A^-, \quad j_{RA}(E_R^+) = E_A^+, \quad j_{RA}|_{\partial U_R} = j_A j_R|_{\partial U_R}. \end{aligned}$$

Не умаляя общности, будем полагать, что  $\Sigma = \Sigma_3$ ,  $e = e_3$ . Положим  $\widetilde{M}^3 = \mathbb{V}_0 \sqcup \mathbb{V}_2 \sqcup \mathbb{V}_3$  и введем на множестве  $\widetilde{M}^3$  минимальное отношение эквивалентности  $\sim$  условием

$$\begin{aligned} \tilde{x} &\sim j_R(\tilde{x}), & \tilde{x} &\in (U^- \sqcup U^+), \\ \tilde{x} &\sim j_A(\tilde{x}), & \tilde{x} &\in U, \\ \tilde{x} &\sim j_{RA}(\tilde{x}), & \tilde{x} &\in U_R. \end{aligned}$$

Обозначим через  $M^3$  множество классов эквивалентности по введенному отношению и через  $p: \widetilde{M}^3 \rightarrow M^3$  – естественную проекцию. Определим

поток  $f^t: M^3 \rightarrow M^3$  формулой

$$f^t(x) = \begin{cases} p[a_0]^t(p|_{\mathbb{V}_0})^{-1}(x), & x \in p(\mathbb{V}_0), \\ p[a_2]^t(p|_{\mathbb{V}_2})^{-1}(x), & x \in p(\mathbb{V}_2), \\ p[a_3]^t(p|_{\mathbb{V}_3})^{-1}(x), & x \in p(\mathbb{V}_3). \end{cases}$$

Построенный поток является непрерывным. Методами, аналогичными методам, предложенным в пункте 1), его можно сгладить, получив искомый поток  $f_S^t$ , имеющий инвариант  $\mathcal{S}$ .

В случае 2ii), поскольку  $\langle L \rangle = 0$ , не умаляя общности, можно считать, что  $e \cap L = \emptyset$ . Выберем стандартный узел  $L^+ \subset (\Sigma_3 \setminus B)$  так, что  $\langle L^+ \rangle_3 = \rho_1$ . Выберем попарно не пересекающиеся трубчатые окрестности  $U^- \subset \Sigma$ ,  $U^+ \subset \Sigma_3$  узлов  $L$ ,  $L^+$  соответственно. Положим  $E_{R^+} = \text{cl}(\Sigma_3 \setminus U^+)$ ,  $E_{R^-} = \text{cl}(\Sigma \setminus U^-)$ .

Выберем в многообразии  $\Sigma_0$  гладкое подмногообразие  $U \cong \mathbb{T}^2 \times [-1, 1]$  так, что множество  $\Sigma_0 \setminus \text{int } U$  состоит из двух компонент связности  $E_A^- \cong E_{R^-}$ ,  $E_A^+ \cong E_{R^+}$  и существует диффеоморфизм  $j_{RA}^-(E_{R^-}) = E_A^-$  такой, что  $\langle j_{RA}^-(e) \rangle_0 = \rho_2/2$ . Тогда существуют диффеоморфизмы  $j_R: U^- \sqcup U^+ \rightarrow \mathbb{V}^- \sqcup \mathbb{V}^+$ ,  $j_A: U \rightarrow N_T$ ,  $j_{RA}^+: E_{R^+} \rightarrow E_A^+$  такие, что

$$\langle j_R(L) \rangle_2 = \langle j_R(L^+) \rangle_2 = 1, \quad j_{RA}^\pm|_{\partial U^\pm} = j_A j_R|_{\partial U^\pm}.$$

Не умаляя общности, будем полагать, что  $\Sigma = \Sigma_3$ ,  $e = e_3$ . Положим  $\widetilde{M}^3 = \mathbb{V}_0 \sqcup \mathbb{V}_2 \sqcup \mathbb{V}_3 \sqcup \mathbb{V}_3$  и введем на множестве  $\widetilde{M}^3$  минимальное отношение эквивалентности  $\sim$  условием

$$\begin{aligned} \tilde{x} &\sim j_R(\tilde{x}), & \tilde{x} &\in (U^- \sqcup U^+), \\ \tilde{x} &\sim j_A(\tilde{x}), & \tilde{x} &\in U, \\ \tilde{x} &\sim j_{AR}^\pm(\tilde{x}), & \tilde{x} &\in E_{R^\pm}. \end{aligned}$$

Обозначим через  $M^3$  множество классов эквивалентности по введенному отношению и через  $p: \widetilde{M}^3 \rightarrow M^3$  – естественную проекцию. Определим поток  $f^t: M^3 \rightarrow M^3$  аналогично случаю 2i).

Теорема 2 доказана.

## § 6. Топология несущего многообразия потоков класса $G$

Настоящий параграф посвящен доказательству теоремы 4. Но сначала мы докажем следующий факт, существенно используемый при доказательстве теоремы.

**ЛЕММА 4.** Пусть:

- $P$  – компактное топологическое  $(n + 1)$ -многообразие ( $n \in \mathbb{N}$ ) с непустым краем  $\partial P$ ;
- $Q \subset \partial P$  – компактное  $n$ -многообразие;
- $R = Q \times [0, 1]$ ;

- $h: Q \rightarrow Q \times \{0\}$  – гомеоморфизм, заданный формулой  $h(q) = q \times \{0\}$ ;
- $\tilde{P} = (P \cup R)/\sim$ , где  $\sim$  – минимальное отношение эквивалентности, определенное условием  $q \sim h(q)$ ,  $q \in Q$ .

Тогда существует гомеоморфизм  $H: P \rightarrow \tilde{P}$ , тождественный вне любой фиксированной окрестности  $V_Q \subset P$  множества  $Q$  и такой, что  $V_Q \cap \partial P = Q$ .

ДОКАЗАТЕЛЬСТВО. Если  $\partial Q = \emptyset$ , то утверждение леммы следует из [8; лемма 3]. В противном случае для  $t \in [0, 1]$  определим изотопию  $z_t: [0, 1] \rightarrow [0, 1] \times [0, 1]$  формулой

$$z_t(s) = \begin{cases} ((1-t)s, 2ts), & s \in \left[0, \frac{1}{2}\right], \\ (1 + (t+1)(s-1), t), & s \in \left[\frac{1}{2}, 1\right]. \end{cases}$$

Запишем изотопию  $z_t$  в виде

$$z_t(s) = (x_t(s), y_t(s)).$$

Рассмотрим “воротник” множества  $\partial Q$  в  $Q$ , т.е. вложение  $\mu: \partial Q \times [-1, 0] \rightarrow Q$  такое, что  $\mu(q, 0) = q \forall q \in \partial Q$ . Положим  $\check{Q} = \mu(\partial Q \times [-1, 0])$  и  $\hat{Q} = \text{cl}(Q \setminus \check{Q})$ . Для  $t \in [0, 1]$  определим изотопию  $Z_t: Q \rightarrow Q \times [0, 1]$  формулой

$$Z_t(q) = \begin{cases} (\mu(\check{q}, x_t(|s|)), y_t(|s|)), & q = \mu(\check{q}, s), \quad \check{q} \in \partial Q, \\ (q, t), & q \in \hat{Q}. \end{cases}$$

Запишем изотопию  $Z_t$  в виде

$$Z_t(q) = (X_t(q), Y_t(q)).$$

Рассмотрим “воротник” множества  $Q$  в  $V_Q$ , т.е. вложение  $\nu: Q \times [-1, 0] \rightarrow V_Q$  такое, что  $\nu(q, 0) = q \forall q \in Q$ . Положим  $R^- = \nu(Q \times [-1, 0])$ . Для  $t \in [-1, 0]$  положим  $Z_t^-(q) = (X_t(q), -Y_t(q))$  и  $Z_t = \nu Z_t^-: Q \rightarrow R^-$ . Тогда искомым гомеоморфизм  $H: P \rightarrow \tilde{P}$  определяется формулой

$$H(x) = \begin{cases} x, & x \in (P \setminus R^-), \\ Z_{(t-1)/2}(q), & x = Z_t(q), \quad q \in Q, \quad t \in [-1, 0]. \end{cases}$$

Лемма доказана.

Теперь мы готовы доказать теорему 4: несущее многообразие любого потока  $f^t \in G$  гомеоморфно  $\mathbb{S}^3 \times \mathbb{S}^1$ .

ДОКАЗАТЕЛЬСТВО ТЕОРЕМЫ 4. Пусть поток  $f^t$  принадлежит классу  $G$ . В силу теоремы 1 полным инвариантом топологической эквивалентности такого потока является класс эквивалентности его схемы  $\mathcal{S}_{f^t} = (\Sigma_R, L, \rho_1, \rho_2)$ . Согласно теореме 2 любой поток  $f^t \in G$  эквивалентен потоку, реализованному по абстрактной схеме  $\mathcal{S} = (\Sigma_R, L, \rho_1, \rho_2)$ , эквивалентной схеме  $\mathcal{S}_{f^t}$ .

Дальнейшее доказательство проведем отдельно для двух следующих случаев: 1)  $\langle L \rangle \neq 0$ ; 2)  $\langle L \rangle = 0$ .

В случае 1) несущее многообразие потока, реализованного по узлу  $\langle L \rangle \neq 0$ , гомеоморфно  $\mathbb{S}^3 \times \mathbb{S}^1$ , и, следовательно, для этого случая теорема 4 доказана.

В случае 2) положим  $D_S^s = W_S^s \cap V_S$ . По построению  $D_S^s$  диффеоморфно двумерному кольцу  $\mathbb{S}^1 \times [-1, 1]$ , ограниченному узлами  $L^-, L^+$ . Выберем трубчатую окрестность  $V_S^s \subset V_S$  кольца  $D_S^s$ , диффеоморфную  $\mathbb{D}^2 \times \mathbb{S}^1 \times [-1, 1]$ , и диффеоморфизм  $\nu: \mathbb{D}^2 \times \mathbb{S}^1 \times [-1, 1] \rightarrow V_S^s$  так, что  $\nu(\mathbb{D}^2 \times \mathbb{S}^1 \times \{-1\}) = V^-$ ,  $\nu(\mathbb{D}^2 \times \mathbb{S}^1 \times \{+1\}) = V^+$  и множество  $\nu(\mathbb{S}^1 \times \mathbb{S}^1 \times [-1, 1])$  трансверсально траекториям потока  $f^t$ .

Положим  $W_R = V_S^s \cup V_R$  и  $W_A = M^3 \setminus \text{int } W_R$ . По построению  $\partial W_A$  является секущей для всех траекторий потока  $f^t$ , лежащих в множестве  $W_A^s \setminus A$ , и, следовательно,  $W_A \cong V_A \cong \mathbb{D}^3 \times \mathbb{S}^1$ . Ниже мы покажем, что  $W_R \cong \mathbb{D}^3 \times \mathbb{S}^1$ . Тогда в силу [12]  $M^3 = W_A \cup W_R \cong \mathbb{D}^3 \times \mathbb{S}^1$ .

Доказательство того, что  $W_R \cong \mathbb{D}^3 \times \mathbb{S}^1$ , проведем отдельно для двух следующих случаев: 2i)  $|\rho_2| = 1$ ; 2ii)  $|\rho_2| = 2$ .

В случае 2ii)  $V_R = V_{R^-} \sqcup V_{R^+}$ . Поскольку узел  $L^+$  является стандартным в  $V_{R^+}$ , то существует гомеоморфизм  $\nu_+: \mathbb{D}^2 \times \mathbb{S}^1 \times [1, 2] \rightarrow V_{R^+}$  такой, что  $\nu_+(\mathbb{D}^2 \times \mathbb{S}^1 \times \{1\}) = V^+$ . Тогда (см., например, [8; лемма 3])  $V_S^s \cup V_{R^+} \cong \mathbb{D}^2 \times \mathbb{S}^1 \times [-1, 2]$ . Таким образом,  $V_S^s \cup V_{R^+} \cong V^- \times [-1, 2]$  и, следовательно,  $W_R \cong V_{R^-} \cup V^- \times [-1, 2]$ , где  $V_{R^-} \cap V^- \times [-1, 2] = V^-$ . В силу леммы 4

$$W_R \cong V_{R^-} \cong \mathbb{D}^3 \times \mathbb{S}^1.$$

В случае 2i)  $V_R = V_R$ , узел  $L^+$  является стандартным в  $V_R$  и для узла  $L^-$  существует 3-шар  $B \subset \Sigma_R$  такой, что  $V^- \subset \text{int } B$  и  $B \cap V^+ = \emptyset$ . Выберем 4-шар  $\tilde{B} \subset V_R$  так, что  $\tilde{B} \cap \Sigma_R = \partial \tilde{B} \cap \Sigma_R = B$ . Тогда  $B_0 = \text{cl}(\partial \tilde{B} \setminus B) \cong \mathbb{D}^3$ . Положим  $\overline{W}_R = \text{cl}(W_R \setminus B_0)$ . По построению  $\overline{W}_R$  – связное 4-многообразие с краем, из которого многообразие  $W_R$  получается отождествлением (с помощью меняющего ориентацию гомеоморфизма) двух не пересекающихся копий 3-шара  $B_0$  на его границе. Тогда доказательство теоремы сводится к доказательству того, что  $\overline{W}_R \cong \mathbb{D}^4$ .

Покажем, что  $\overline{W}_R \cong \mathbb{D}^4$ . Для этого представим  $\overline{W}_R$  в следующем виде:  $\overline{W}_R = \tilde{V}_R \cup \tilde{V}_S^s$ , где  $\tilde{V}_R = \text{cl}(V_R \setminus \tilde{B})$ ,  $\tilde{V}_S^s = V_S^s \cup \tilde{B}$ . По построению  $\tilde{V}_R \cap \tilde{V}_S^s = V^-$ . Аналогично пункту 2ii) показывается, что  $\tilde{V}_R \cup V_S^s \cong V^- \times [-1, 2]$ , откуда получаем  $\overline{W}_R \cong \tilde{B} \cup V^- \times [-1, 2]$ , где  $\tilde{B} \cap V^- \times [-1, 2] = V^-$ . В силу леммы 4

$$\overline{W}_R \cong \tilde{B} \cong \mathbb{D}^4.$$

Теорема 4 доказана.

### Список литературы

- [1] P. M. Akhmet'ev, T. V. Medvedev, O. V. Pochinka, "On the number of the classes of topological conjugacy of Pixton diffeomorphisms", *Qual. Theory Dyn. Syst.*, **20:3** (2021), 76, 15 pp.

- [2] F. Bonahon, J.-P. Otal, “Scindements de Heegaard des espaces lenticulaires”, *Ann. Sci. École Norm. Sup.* (4), **16**:3 (1983), 451–466.
- [3] C. Bonatti, V. Z. Grines, “Knots as topological invariants for gradient-like diffeomorphisms of the sphere  $S^3$ ”, *J. Dynam. Control Systems*, **6**:4 (2000), 579–602.
- [4] C. Bonatti, V. Grines, O. Pochinka, “Topological classification of Morse–Smale diffeomorphisms on 3-manifolds”, *Duke Math. J.*, **168**:13 (2019), 2507–2558.
- [5] J. Franks, “Nonsingular Smale flows on  $S^3$ ”, *Topology*, **24**:3 (1985), 265–282.
- [6] D. Gabai, “Foliations and the topology of 3-manifolds. III”, *J. Differential Geom.*, **26**:3 (1987), 479–536.
- [7] C. McA. Gordon, J. Luecke, “Knots are determined by their complements”, *J. Amer. Math. Soc.*, **2**:2 (1989), 371–415.
- [8] V. Grines, Yu. Levchenko, V. Medvedev, O. Pochinka, “The topological classification of structurally stable 3-diffeomorphisms with two-dimensional basic sets”, *Nonlinearity*, **28**:11 (2015), 4081–4102.
- [9] В. З. Гринес, Е. В. Жужома, В. С. Медведев, О. В. Починка, “Глобальные аттрактор и репеллер диффеоморфизмов Морса–Смейла”, *Дифференциальные уравнения и топология*. II, Сборник статей. К 100-летию со дня рождения академика Льва Семеновича Понтрягина, Труды МИАН, **271**, МАИК «Наука/Интерпериодика», М., 2010, 111–133; англ. пер.: V. Z. Grines, E. V. Zhuzhoma, V. S. Medvedev, O. V. Pochinka, “Global attractor and repeller of Morse–Smale diffeomorphisms”, *Proc. Steklov Inst. Math.*, **271** (2010), 103–124.
- [10] В. Гуревич, Г. Волмэн, *Теория размерности*, ИЛ, М., 1948, 232 с.; пер. с англ.: W. Hurewicz, H. Wallman, *Dimension theory*, PMS-4, Reprint of the 1948 ed., Princeton Math. Ser., **63**, Princeton Univ. Press, Princeton, NJ, 2015, vii+165 pp.
- [11] M. C. Irwin, “A classification of elementary cycles”, *Topology*, **9**:1 (1970), 35–47.
- [12] N. L. Max, “Homeomorphisms of  $S^n \times S^1$ ”, *Bull. Amer. Math. Soc.*, **73**:6 (1967), 939–942.
- [13] W. D. Neumann, *Notes on geometry and 3-manifolds*, Citeseer, 1996.
- [14] E. M. Osenkov, O. V. Pochinka, *Morse–Smale 3-diffeomorphisms with saddles of the same unstable manifold dimension*, arXiv: 2310.08476.
- [15] D. Pixton, “Wild unstable manifolds”, *Topology*, **16**:2 (1977), 167–172.
- [16] O. V. Pochinka, D. D. Shubin, “On 4-dimensional flows with wildly embedded invariant manifolds of a periodic orbit”, *Appl. Math. Nonlinear Sci.*, **5**:2 (2020), 261–266.
- [17] O. V. Pochinka, D. D. Shubin, “Non-singular Morse–Smale flows on  $n$ -manifolds with attractor-repeller dynamics”, *Nonlinearity*, **35**:3 (2022), 1485–1499.
- [18] D. Rolfsen, *Knots and links*, Reprint with corr. of the 1976 ed., AMS Chelsea Publ. Ser., **346**, Amer. Math. Soc., Providence, RI, 2003, ix+439 pp.
- [19] С. Смейл, “Дифференцируемые динамические системы”, *УМН*, **25**:1(151) (1970), 113–185; пер. с англ.: S. Smale, “Differentiable dynamical systems”, *Bull. Amer. Math. Soc.*, **73**:6 (1967), 747–817.
- [20] Я. Л. Уманский, “Необходимые и достаточные условия топологической эквивалентности трехмерных динамических систем Морса–Смейла с конечным числом особых траекторий”, *Матем. сб.*, **181**:2 (1990), 212–239; англ. пер.: Ya. L. Umanский, “Necessary and sufficient conditions for topological equivalence of three-dimensional Morse–Smale dynamical systems with a finite number of singular trajectories”, *Math. USSR-Sb.*, **69**:1 (1991), 227–253.
- [21] V. Galkin, O. Pochinka, D. Shubin, *Classification of NMS-flows with unique twisted saddle orbit on orientable 4-manifolds*, arXiv: 2306.09125.
- [22] Bin Yu, “Behavior 0 nonsingular Morse Smale flows on  $S^3$ ”, *Discrete Contin. Dyn. Syst.*, **36**:1 (2016), 509–540.

- [23] О. В. Починка, Д. Д. Шубин, “Неособые потоки Морса–Смейла с тремя периодическими орбитами на ориентируемых 3-многообразиях”, *Матем. заметки*, **112:3** (2022), 426–443; англ. пер.: O. V. Pochinka, D. D. Shubin, “Nonsingular Morse–Smale flows with three periodic orbits on orientable 3-manifolds”, *Math. Notes*, **112:3** (2022), 436–450.
- [24] А. О. Пришляк, “Полный топологический инвариант потоков Морса–Смейла и разложений на ручки трёхмерных многообразий”, *Фундамент. и прикл. матем.*, **11:4** (2005), 185–196; англ. пер.: A. Prishlyak, “Complete topological invariants of Morse–Smale flows and handle decompositions of 3-manifolds”, *J. Math. Sci. (N. Y.)*, **144:5** (2007), 4492–4499.

**Владислав Дмитриевич Галкин**  
(Vladislav D. Galkin)

Национальный исследовательский университет  
“Высшая школа экономики”, г. Нижний Новгород  
*E-mail*: [vgalkin@hse.ru](mailto:vgalkin@hse.ru)

Поступила в редакцию  
24.02.2024 и 01.07.2024

**Ольга Витальевна Починка**  
(Olga V. Pochinka)

Национальный исследовательский университет  
“Высшая школа экономики”, г. Нижний Новгород  
*E-mail*: [olga-pochinka@yandex.ru](mailto:olga-pochinka@yandex.ru)

**Данила Денисович Шубин**  
(Danila D. Shubin)

Национальный исследовательский университет  
“Высшая школа экономики”, г. Нижний Новгород  
*E-mail*: [schub.danil@yandex.ru](mailto:schub.danil@yandex.ru)